

Couleurs base et mélange du sRGB l'espace de couleur pour D65, $Y_w=88,6$

Code	$X_{88.6}$	$Y_{88.6}$	$Z_{88.6}$	x	y	z	h_{xy}	i_d, λ_d	i_c, λ_c
$R_{d,D65, sRGB}$	36.53	18.83	1.71	0.64	0.33	0.03	0.1	41 606	17 486
$Y_{d,D65, sRGB}$	68.21	82.19	12.27	0.4193	0.5052	0.0754	58.8	33 565	11 459
$G_{d,D65, sRGB}$	31.67	63.35	10.55	0.3	0.6	0.0999	92.6	28 544	-1 544c
$C_{d,D65, sRGB}$	47.66	69.75	94.75	0.2246	0.3287	0.4465	180.1	17 486	41 606
$B_{d,D65, sRGB}$	15.98	6.39	84.19	0.15	0.06	0.7899	238.8	11 459	33 565
$M_{d,D65, sRGB}$	52.52	25.23	85.9	0.3209	0.1541	0.5249	272.7	-1 544c	28 544
$N_{d,D65, sRGB}$	0.84	0.88	0.96	0.3127	0.329	0.3582	359.9	-1 544c	-1 459c
$W_{d,D65, sRGB}$	84.19	88.59	96.46	0.3127	0.329	0.3582	359.9	-1 544c	-1 459c

3-000030-L0

TF410-1N_1

Couleurs base et mélange du sRGB l'espace de couleur pour D65, $Y_w=88,6$

Code	$Y_{88.6}$	$A_{88.6}$	$B_{88.6}$	C_{AB}	a	b	h_{AB}	i_d, λ_d	i_c, λ_c
$R_{d,D65, sRGB}$	18.83	18.62	7.52	20.09	1.9393	-0.0363	21.9	41 606	17 486
$Y_{d,D65, sRGB}$	82.19	-9.9	30.89	32.44	0.8298	-0.0597	107.7	33 565	13 467
$G_{d,D65, sRGB}$	63.35	-28.53	23.37	36.88	0.4999	-0.0666	140.6	29 545	-1 545c
$C_{d,D65, sRGB}$	69.75	-18.63	-7.52	20.09	0.6833	-0.5433	201.9	17 486	43 618
$B_{d,D65, sRGB}$	6.39	9.9	-30.89	32.44	2.4999	-5.2665	287.7	11 458	32 562
$M_{d,D65, sRGB}$	25.23	28.53	-23.37	36.88	2.0814	-1.3618	320.6	-1 533c	26 533
$N_{d,D65, sRGB}$	0.88	0.0	0.0	0.01	0.9503	-0.4355	82.1	38 591	16 483
$W_{d,D65, sRGB}$	88.59	0.0	0.0	0.01	0.9504	-0.4355	0.0	38 591	16 484

3-000030-L0

TF410-3N_1

Couleurs base et mélange du sRGB l'espace de couleur pour D65, $Y_w=88,6$

Code	$L^*_{88.6}$	$a^*_{88.6}$	$b^*_{88.6}$	C^*_{ab}	a'	b'	h_{ab}	i_d, λ^*_d	i_c, λ^*_c
$R_{d,D65, sRGB}$	50.5	76.9	64.45	100.34	0.2732	-0.0376	39.9	-1 479c	15 479
$Y_{d,D65, sRGB}$	92.66	-20.7	90.71	93.05	0.2058	-0.0444	102.8	32 562	14 470
$G_{d,D65, sRGB}$	83.63	-82.75	79.86	115.01	0.1738	-0.046	136.0	27 536	9 449
$C_{d,D65, sRGB}$	86.87	-46.17	-13.56	48.12	0.1929	-0.0927	196.3	16 484	-1 484c
$B_{d,D65, sRGB}$	30.41	76.0	-103.55	128.45	0.2971	-0.1976	306.2	12 461	28 544
$M_{d,D65, sRGB}$	57.31	94.33	-58.41	110.95	0.2796	-0.1259	328.2	-1 524c	24 524
$N_{d,D65, sRGB}$	8.09	0.0	0.0	0.0	0.2153	-0.0861	0.0	-1 524c	-1 461c
$W_{d,D65, sRGB}$	95.41	0.0	0.0	0.0	0.2153	-0.0861	0.0	-1 524c	-1 461c

3-000030-L0

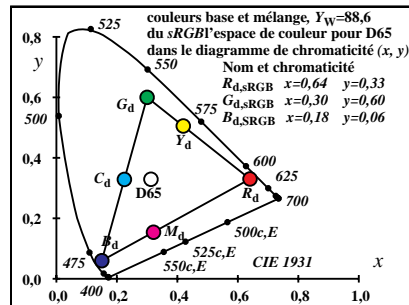
TF410-5N_1

Couleurs base et mélange du sRGB l'espace de couleur pour D65, $Y_w=88,6$

CodeD65	$L^*_{88.6}$	$a^*_{88.6}$	$b^*_{88.6}$	C^*_{ab}	a'	b'	h_{ab}	i_d, λ^*_d	i_c, λ^*_c
$R_{d,D65, sRGB}$	50.5	76.92	64.54	100.41	0.2732	-0.0376	39.9	-1 479c	15 479
$Y_{d,D65, sRGB}$	92.66	-20.7	90.74	93.07	0.2059	-0.0444	102.8	32 562	14 470
$G_{d,D65, sRGB}$	83.63	-82.77	79.89	115.03	0.1739	-0.046	136.0	27 536	9 449
$C_{d,D65, sRGB}$	86.87	-46.17	-13.57	48.13	0.1929	-0.0927	196.3	16 484	-1 484c
$B_{d,D65, sRGB}$	30.41	76.05	-103.58	128.51	0.2972	-0.1976	306.2	12 461	28 544
$M_{d,D65, sRGB}$	57.31	94.35	-58.42	110.97	0.2797	-0.1259	328.2	-1 524c	24 524
$N_{d,D65, sRGB}$	8.09	0.0	0.0	0.0	0.2154	-0.0861	158.1	23 515	-1 515c
$W_{d,D65, sRGB}$	95.41	0.0	0.0	0.0	0.2154	-0.0861	134.1	27 536	10 451

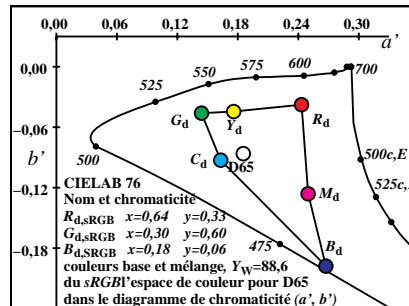
3-000030-L0

TF410-7N_1



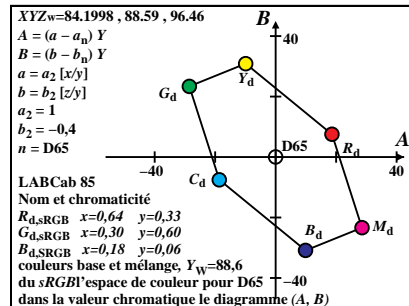
3-000030-L0

TF411-1N_1



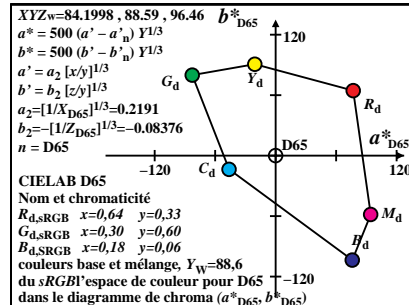
3-000030-L0

TF411-3N_1



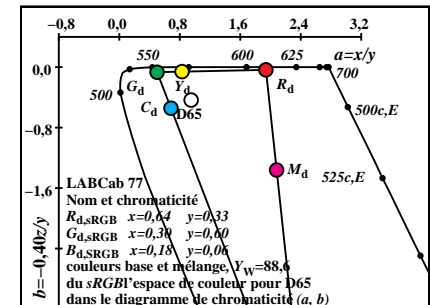
3-000030-L0

TF411-5N_1



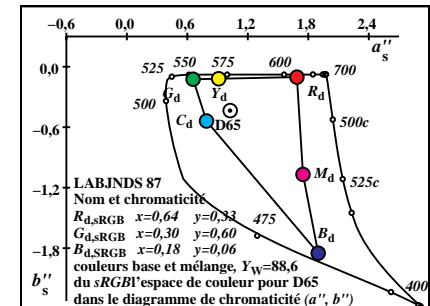
3-000030-L0

TF411-7N_1



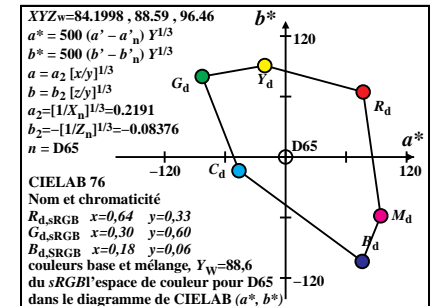
3-000030-L0

TF411-2N_1



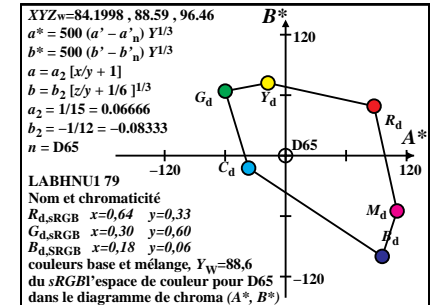
3-000030-L0

TF411-4N_1



3-000030-L0

TF411-6N_1



3-000030-L0

TF411-8N_1

voir des fichiers similaires: http://130.149.60.45/~farbmetrik/TF41/TF41.LONP.PDF /PS
 informations techniques: http://www.ps.bam.de ou http://130.149.60.45/~farbmetrik

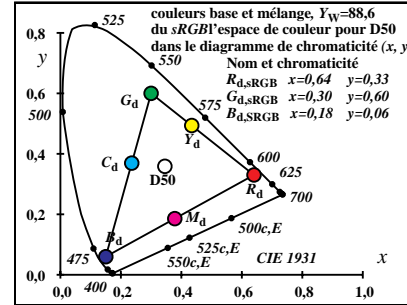
TUB enregistrement: 20130201-TF41/TF41LONP.PDF /PS
 application pour la mesure de sortie sur écran
 TUB matériel: code=rh4ta

Couleurs base et mélange du sRGB l'espace de couleur pour D50, $Y_w=88,6$

Code	$X_{88.6}$	$Y_{88.6}$	$Z_{88.6}$	x	y	z	h_{xy}	i_d, λ_d	i_c, λ_c
$R_{d,D50, sRGB}$	42.97	22.15	2.01	0.64	0.3299	0.03	354.4	41 607	17 489
$Y_{d,D50, sRGB}$	73.88	83.97	12.31	0.4341	0.4934	0.0723	56.7	33 567	11 459
$G_{d,D50, sRGB}$	30.9	61.81	10.3	0.2999	0.5999	0.0999	100.6	28 541	-1 541c
$C_{d,D50, sRGB}$	42.44	66.43	71.06	0.2358	0.3691	0.3949	174.4	17 489	41 607
$B_{d,D50, sRGB}$	11.53	4.61	60.76	0.1499	0.0599	0.7899	236.7	11 459	33 567
$M_{d,D50, sRGB}$	54.51	26.77	62.78	0.3783	0.1858	0.4357	280.7	-1 541c	28 541
$N_{d,D50, sRGB}$	0.85	0.88	0.73	0.3457	0.3585	0.2957	359.9	34 573	14 471
$W_{d,D50, sRGB}$	85.42	88.59	73.08	0.3457	0.3585	0.2957	359.9	-1 471c	-1 573c

3-000130-L0

TF410-1N_2

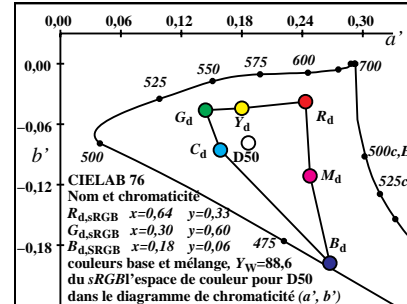


Couleurs base et mélange du sRGB l'espace de couleur pour D50, $Y_w=88,6$

Code	$Y_{88.6}$	$A_{88.6}$	$B_{88.6}$	C_{AB}	a	b	h_{AB}	i_d, λ_d	i_c, λ_c
$R_{d,D50, sRGB}$	22.15	21.6	6.5	22.56	1.9393	-0.0363	16.7	41 609	18 491
$Y_{d,D50, sRGB}$	83.97	-7.08	22.78	23.86	0.8798	-0.0586	107.2	33 567	12 464
$G_{d,D50, sRGB}$	61.81	-28.69	16.27	32.99	0.4999	-0.0666	150.4	27 539	-1 539c
$C_{d,D50, sRGB}$	66.43	-21.6	-6.5	22.56	0.6389	-0.4279	196.7	17 486	37 585
$B_{d,D50, sRGB}$	4.61	7.08	-22.78	23.86	2.4999	-5.2665	287.2	11 459	33 566
$M_{d,D50, sRGB}$	26.77	28.69	-16.27	32.99	2.036	-0.9379	330.4	-1 549c	29 549
$N_{d,D50, sRGB}$	0.88	0.0	0.0	0.01	0.9641	-0.3299	81.7	2 412	32 564
$W_{d,D50, sRGB}$	88.59	0.0	0.0	0.01	0.9642	-0.3299	356.0	1 409	32 564

3-000130-L0

TF410-3N_2

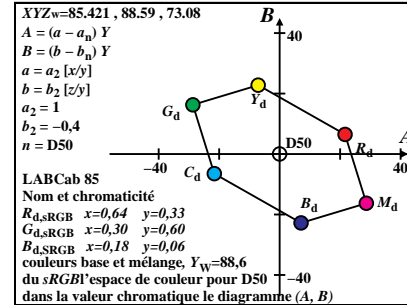


Couleurs base et mélange du sRGB l'espace de couleur pour D50, $Y_w=88,6$

Code	$L^*_{88.6}$	$a^*_{88.6}$	$b^*_{88.6}$	C^*_{ab}	a'	b'	h_{ab}	i_d, λ^*_d	i_c, λ^*_c
$R_{d,D50, sRGB}$	54.2	79.34	62.94	101.27	0.2732	-0.0376	38.4	-1 480c	16 480
$Y_{d,D50, sRGB}$	93.44	-14.18	82.57	83.78	0.2099	-0.0441	99.7	33 565	14 470
$G_{d,D50, sRGB}$	82.82	-83.72	70.38	109.38	0.1738	-0.046	139.9	27 536	6 433
$C_{d,D50, sRGB}$	85.22	-55.91	-15.79	58.1	0.1886	-0.0856	195.7	17 485	-1 485c
$B_{d,D50, sRGB}$	25.63	66.97	-108.83	127.79	0.2971	-0.1976	301.6	12 463	30 550
$M_{d,D50, sRGB}$	58.77	91.16	-53.68	105.79	0.2776	-0.1112	329.5	-1 527c	25 527
$N_{d,D50, sRGB}$	8.09	0.0	0.0	0.0	0.2164	-0.0785	0.0	-1 527c	-1 463c
$W_{d,D50, sRGB}$	95.41	0.0	0.0	0.0	0.2164	-0.0785	0.0	-1 527c	-1 463c

3-000130-L0

TF410-5N_2

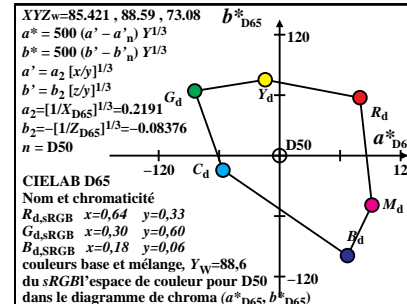


Couleurs base et mélange du sRGB l'espace de couleur pour D50, $Y_w=88,6$

CodeD65	$L^*_{88.6}$	$a^*_{88.6}$	$b^*_{88.6}$	C^*_{ab}	a'	b'	h_{ab}	i_d, λ^*_d	i_c, λ^*_c
$R_{d,D50, sRGB}$	54.2	79.74	57.43	98.27	0.2732	-0.0376	35.7	-1 480c	16 480
$Y_{d,D50, sRGB}$	93.44	-14.25	75.28	76.62	0.2099	-0.0441	100.7	33 565	14 470
$G_{d,D50, sRGB}$	82.82	-84.14	64.18	105.82	0.1739	-0.046	142.6	26 533	-1 533c
$C_{d,D50, sRGB}$	85.22	-56.19	-14.39	58.0	0.1887	-0.0856	194.3	17 486	-1 486c
$B_{d,D50, sRGB}$	25.63	67.36	-99.26	119.95	0.2972	-0.1976	304.1	12 461	29 549
$M_{d,D50, sRGB}$	58.77	91.61	-48.94	103.87	0.2776	-0.1112	331.8	-1 525c	25 525
$N_{d,D50, sRGB}$	8.09	0.0	0.0	0.0	0.2164	-0.0785	160.0	23 516	-1 516c
$W_{d,D50, sRGB}$	95.41	0.0	0.0	0.0	0.2164	-0.0785	180.0	19 495	-1 495c

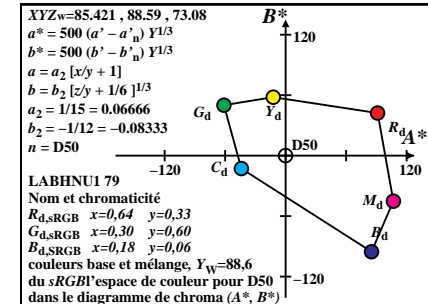
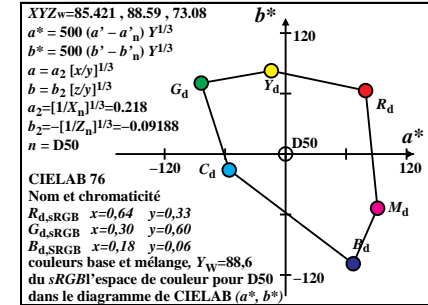
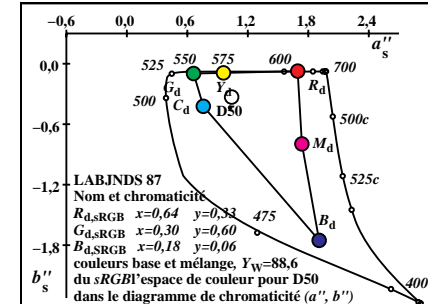
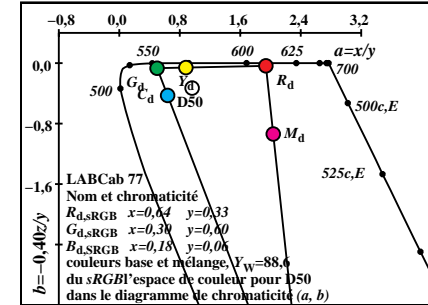
3-000130-L0

TF410-7N_2



3-000130-L0

TF411-7N_2



3-000130-L0

TF411-8N_2

voir des fichiers similaires: http://130.149.60.45/~farbmetrik/TF41/TF41.LONP.PDF /PS
 informations techniques: http://www.ps.bam.de ou http://130.149.60.45/~farbmetrik

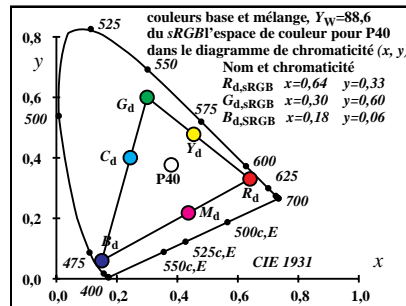
TUB enregistrement: 20130201-TF41/TF41LONP.PDF /PS
 application pour la mesure de sortie sur écran
 TUB matériel: code=rh4ta

Couleurs base et mélange du sRGB l'espace de couleur pour P40, $Y_w=88,6$

Code	$X_{88.6}$	$Y_{88.6}$	$Z_{88.6}$	x	y	z	h_{xy}	i_d, λ_d	i_c, λ_c
$R_{d,P40, sRGB}$	51.55	26.58	2.41	0.64	0.3299	0.03	349.8	41 608	18 491
$Y_{d,P40, sRGB}$	80.84	85.16	12.17	0.4537	0.4779	0.0683	53.9	34 570	12 460
$G_{d,P40, sRGB}$	29.28	58.57	9.76	0.2999	0.5999	0.0999	109.6	27 537	-1 537c
$C_{d,P40, sRGB}$	37.85	62.0	54.89	0.2446	0.4006	0.3547	169.8	18 491	41 608
$B_{d,P40, sRGB}$	8.56	3.42	45.12	0.1499	0.06	0.79	234.0	12 460	34 570
$M_{d,P40, sRGB}$	60.12	30.01	47.54	0.4366	0.2179	0.3453	289.7	-1 537c	27 537
$N_{d,P40, sRGB}$	0.89	0.88	0.57	0.3799	0.3764	0.2435	359.9	20 500	-1 500c
$W_{d,P40, sRGB}$	89.41	88.59	57.3	0.3799	0.3764	0.2435	359.9	-1 537c	-1 500c

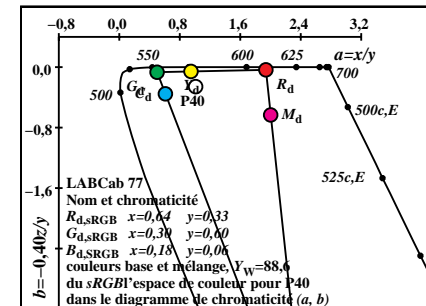
3-000230-L0

TF410-1N_3



3-000230-L0

TF411-1N_3



3-000230-L0

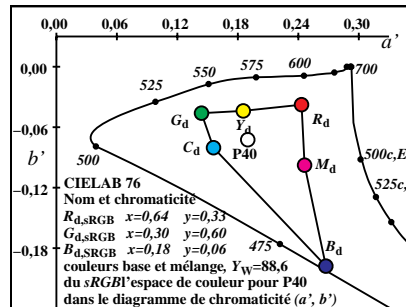
TF411-2N_3

Couleurs base et mélange du sRGB l'espace de couleur pour P40, $Y_w=88,6$

Code	$Y_{88.6}$	$A_{88.6}$	$B_{88.6}$	C_{AB}	a	b	h_{AB}	i_d, λ_d	i_c, λ_c
$R_{d,P40, sRGB}$	26.58	24.72	5.91	25.42	1.9393	-0.0363	13.4	44 620	20 500
$Y_{d,P40, sRGB}$	85.16	-5.1	17.16	17.9	0.9493	-0.0572	106.5	33 568	-1 568c
$G_{d,P40, sRGB}$	58.57	-29.83	11.25	31.88	0.4999	-0.0666	159.3	23 519	-1 519c
$C_{d,P40, sRGB}$	62.0	-24.72	-5.91	25.42	0.6105	-0.3541	193.4	17 488	36 580
$B_{d,P40, sRGB}$	3.42	5.1	-17.16	17.9	2.4999	-5.2665	286.5	12 460	34 572
$M_{d,P40, sRGB}$	30.01	29.83	-11.25	31.88	2.0034	-0.6336	339.3	-1 564c	32 564
$N_{d,P40, sRGB}$	0.88	0.0	0.0	0.01	1.0092	-0.2587	90.0	14 473	34 574
$W_{d,P40, sRGB}$	88.59	0.0	0.0	0.01	1.0093	-0.2587	0.0	14 473	34 574

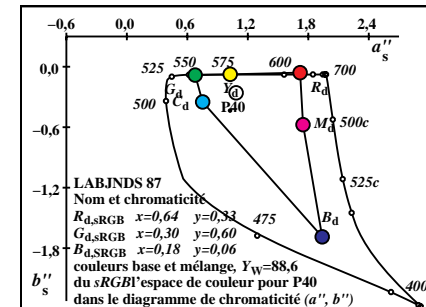
3-000230-L0

TF410-3N_3



3-000230-L0

TF411-3N_3



3-000230-L0

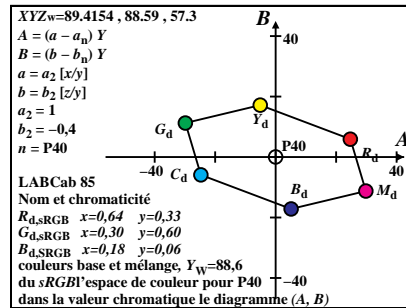
TF411-4N_3

Couleurs base et mélange du sRGB l'espace de couleur pour P40, $Y_w=88,6$

Code	$L^*_{88.6}$	$a^*_{88.6}$	$b^*_{88.6}$	C^*_{ab}	a'	b'	h_{ab}	i_d, λ^*_d	i_c, λ^*_c
$R_{d,P40, sRGB}$	58.59	78.17	61.69	99.59	0.2732	-0.0376	38.2	-1 480c	16 480
$Y_{d,P40, sRGB}$	93.95	-9.58	74.93	75.54	0.2153	-0.0437	97.2	33 569	14 470
$G_{d,P40, sRGB}$	81.06	-87.31	60.84	106.42	0.1738	-0.046	145.1	27 535	-1 535c
$C_{d,P40, sRGB}$	82.92	-65.76	-18.79	68.39	0.1858	-0.0804	195.9	17 486	-1 486c
$B_{d,P40, sRGB}$	21.71	57.26	-112.35	126.1	0.2971	-0.1976	297.0	12 464	31 557
$M_{d,P40, sRGB}$	61.67	85.93	-46.57	97.74	0.2761	-0.0976	331.5	-1 529c	25 529
$N_{d,P40, sRGB}$	8.09	0.0	0.0	0.0	0.2197	-0.0724	0.0	-1 529c	-1 464c
$W_{d,P40, sRGB}$	95.41	0.0	0.0	0.0	0.2197	-0.0724	0.0	-1 529c	-1 464c

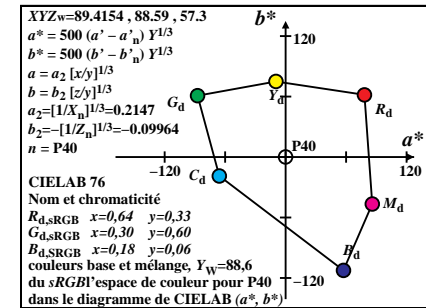
3-000230-L0

TF410-5N_3



3-000230-L0

TF411-5N_3



3-000230-L0

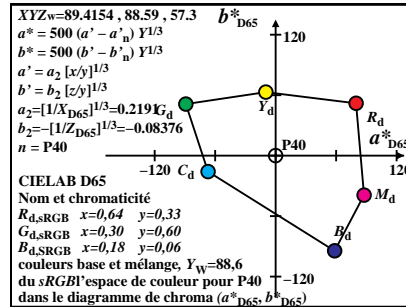
TF411-6N_3

Couleurs base et mélange du sRGB l'espace de couleur pour P40, $Y_w=88,6$

CodeD65	$L^*_{88.6}$	$a^*_{88.6}$	$b^*_{88.6}$	C^*_{ab}	a'	b'	h_{ab}	i_d, λ^*_d	i_c, λ^*_c
$R_{d,P40, sRGB}$	58.59	79.77	51.9	95.17	0.2732	-0.0376	33.0	-1 481c	16 481
$Y_{d,P40, sRGB}$	93.95	-9.77	63.0	63.75	0.2153	-0.0438	98.8	33 568	14 470
$G_{d,P40, sRGB}$	81.06	-89.1	51.16	102.74	0.1739	-0.046	150.1	26 530	-1 530c
$C_{d,P40, sRGB}$	82.92	-67.1	-15.8	68.94	0.1858	-0.0804	193.2	17 487	-1 487c
$B_{d,P40, sRGB}$	21.71	58.49	-94.49	111.13	0.2972	-0.1976	301.7	12 462	30 554
$M_{d,P40, sRGB}$	61.67	87.68	-39.16	96.03	0.2761	-0.0976	335.9	-1 524c	24 524
$N_{d,P40, sRGB}$	8.09	0.0	0.0	0.0	0.2197	-0.0724	161.7	23 518	-1 518c
$W_{d,P40, sRGB}$	95.41	0.0	0.0	0.0	0.2197	-0.0724	0.0	-1 524c	-1 518c

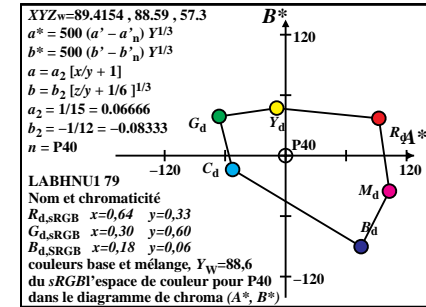
3-000230-L0

TF410-7N_3



3-000230-L0

TF411-7N_3



3-000230-L0

TF411-8N_3

Couleurs base et mélange du sRGB l'espace de couleur pour A00, $Y_w=88,6$

Code	$X_{88.6}$	$Y_{88.6}$	$Z_{88.6}$	x	y	z	h_{xy}	i_d, λ_d	i_c, λ_c
$R_{d,A00, sRGB}$	67.41	34.76	3.16	0.64	0.33	0.03	338.0	42 614	19 496
$Y_{d,A00, sRGB}$	93.58	87.09	11.88	0.4859	0.4523	0.0617	49.3	35 575	12 460
$G_{d,A00, sRGB}$	26.16	52.33	8.72	0.3	0.6	0.0999	127.4	24 522	-1 522c
$C_{d,A00, sRGB}$	29.89	53.82	28.36	0.2667	0.4802	0.253	158.0	19 496	42 614
$B_{d,A00, sRGB}$	3.72	1.49	19.63	0.15	0.0599	0.79	229.4	12 460	35 575
$M_{d,A00, sRGB}$	71.14	36.25	22.79	0.5464	0.2784	0.1751	307.4	-1 522c	24 522
$N_{d,A00, sRGB}$	0.97	0.88	0.31	0.4475	0.4074	0.1449	0.0	41 605	13 465
$W_{d,A00, sRGB}$	97.31	88.59	31.52	0.4475	0.4074	0.1449	0.0	-1 465c	-1 605c

3-000330-L0

TF410-1N_4

Couleurs base et mélange du sRGB l'espace de couleur pour A00, $Y_w=88,6$

Code	$Y_{88.6}$	$A_{88.6}$	$B_{88.6}$	C_{AB}	a	b	h_{AB}	i_d, λ_d	i_c, λ_c
$R_{d,A00, sRGB}$	34.76	29.23	3.68	29.46	1.9393	-0.0363	7.1	-1 597c	39 597
$Y_{d,A00, sRGB}$	87.09	-2.09	7.64	7.92	1.0744	-0.0545	105.2	16 482	35 577
$G_{d,A00, sRGB}$	52.33	-31.32	3.95	31.57	0.4999	-0.0666	172.7	20 500	32 562
$C_{d,A00, sRGB}$	53.82	-29.23	-3.68	29.46	0.5554	-0.2107	187.1	18 491	34 571
$B_{d,A00, sRGB}$	1.49	2.09	-7.64	7.92	2.4998	-5.2663	285.2	12 461	36 580
$M_{d,A00, sRGB}$	36.25	31.32	-3.95	31.57	1.9624	-0.2515	352.7	-1 587c	37 587
$N_{d,A00, sRGB}$	0.88	0.0	0.0	0.01	1.0983	-0.1423	122.4	15 477	35 578
$W_{d,A00, sRGB}$	88.59	0.0	0.0	0.01	1.0984	-0.1423	4.4	15 477	35 578

3-000330-L0

TF410-3N_4

Couleurs base et mélange du sRGB l'espace de couleur pour A00, $Y_w=88,6$

Code	$L^*_{88.6}$	$a^*_{88.6}$	$b^*_{88.6}$	C^*_{ab}	a'	b'	h_{ab}	i_d, λ^*_d	i_c, λ^*_c
$R_{d,A00, sRGB}$	65.57	73.33	51.37	89.53	0.2732	-0.0376	35.0	-1 482c	16 482
$Y_{d,A00, sRGB}$	94.78	-3.5	52.23	52.35	0.2243	-0.0431	93.8	34 574	14 470
$G_{d,A00, sRGB}$	77.48	-92.96	35.99	99.69	0.1738	-0.046	158.8	26 531	-1 531c
$C_{d,A00, sRGB}$	78.36	-82.68	-22.74	85.75	0.18	-0.0676	195.3	17 488	-1 488c
$B_{d,A00, sRGB}$	12.61	38.7	-114.72	121.07	0.2971	-0.1976	288.6	13 466	33 568
$M_{d,A00, sRGB}$	66.72	76.06	-29.8	81.7	0.2742	-0.0717	338.6	-1 531c	26 531
$N_{d,A00, sRGB}$	8.09	0.0	0.0	0.0	0.226	-0.0593	0.0	-1 531c	-1 466c
$W_{d,A00, sRGB}$	95.41	0.0	0.0	0.0	0.226	-0.0593	0.0	-1 531c	-1 466c

3-000330-L0

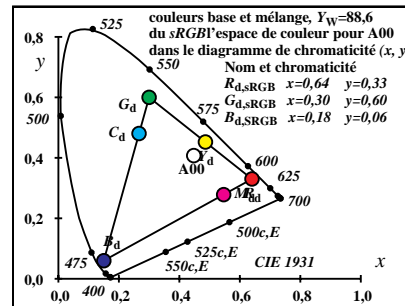
TF410-5N_4

Couleurs base et mélange du sRGB l'espace de couleur pour A00, $Y_w=88,6$

CodeD65	$L^*_{88.6}$	$a^*_{88.6}$	$b^*_{88.6}$	C^*_{ab}	a'	b'	h_{ab}	i_d, λ^*_d	i_c, λ^*_c
$R_{d,A00, sRGB}$	65.57	76.97	35.39	84.72	0.2732	-0.0376	24.6	-1 485c	17 485
$Y_{d,A00, sRGB}$	94.78	-3.67	35.98	36.17	0.2244	-0.0431	95.8	34 574	13 469
$G_{d,A00, sRGB}$	77.48	-97.58	24.79	100.68	0.1739	-0.046	165.7	24 522	-1 522c
$C_{d,A00, sRGB}$	78.36	-86.79	-15.66	88.19	0.1801	-0.0676	190.2	18 491	-1 491c
$B_{d,A00, sRGB}$	12.61	40.73	-79.08	88.96	0.2972	-0.1976	297.2	12 462	32 563
$M_{d,A00, sRGB}$	66.72	79.84	-20.53	82.44	0.2743	-0.0717	345.5	-1 522c	24 522
$N_{d,A00, sRGB}$	8.09	0.0	0.0	0.0	0.226	-0.0593	165.2	24 523	-1 523c
$W_{d,A00, sRGB}$	95.41	0.0	0.0	0.0	0.226	-0.0593	180.0	20 503	-1 503c

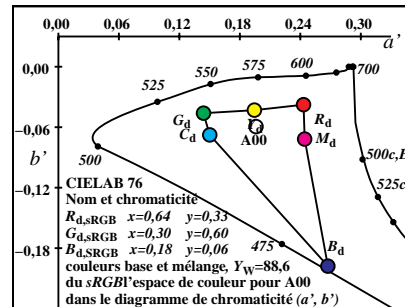
3-000330-L0

TF410-7N_4



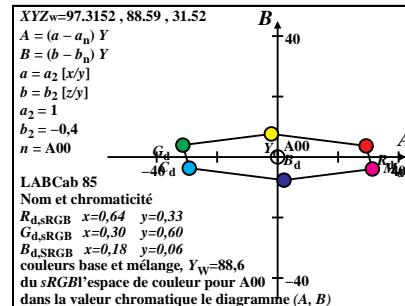
3-000330-L0

TF411-1N_4



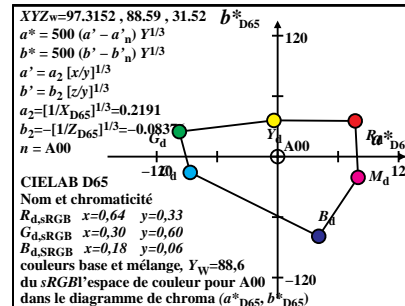
3-000330-L0

TF411-3N_4



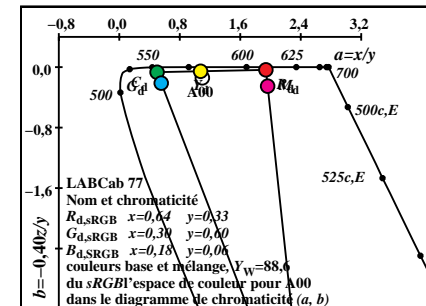
3-000330-L0

TF411-5N_4



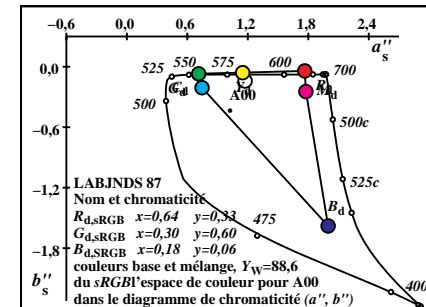
3-000330-L0

TF411-7N_4



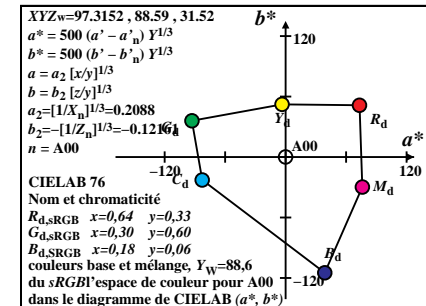
3-000330-L0

TF411-2N_4



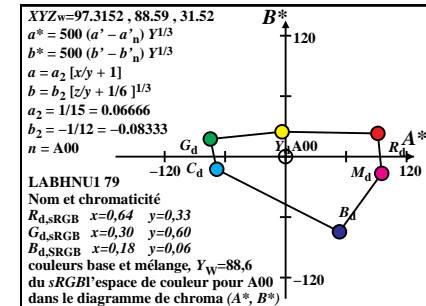
3-000330-L0

TF411-4N_4



3-000330-L0

TF411-6N_4



3-000330-L0

TF411-8N_4

Couleurs base et mélange du sRGB l'espace de couleur pour E00, $Y_w=88,6$

Code	$X_{88.6}$	$Y_{88.6}$	$Z_{88.6}$	x	y	z	h_{xy}	i_d, λ_d	i_c, λ_c
$R_{d,E00, sRGB}$	44.02	22.69	2.06	0.64	0.3299	0.03	359.3	41 606	17 486
$Y_{d,E00, sRGB}$	74.06	82.77	12.07	0.4384	0.49	0.0714	56.1	33 568	11 459
$G_{d,E00, sRGB}$	30.03	60.07	10.01	0.3	0.6	0.0999	97.1	28 542	-1 542c
$C_{d,E00, sRGB}$	44.56	65.89	86.52	0.2262	0.3344	0.4392	179.3	17 486	41 606
$B_{d,E00, sRGB}$	14.52	5.81	76.51	0.15	0.06	0.79	236.1	11 459	33 568
$M_{d,E00, sRGB}$	58.55	28.51	78.57	0.3534	0.1721	0.4743	277.1	-1 542c	28 542
$N_{d,E00, sRGB}$	0.88	0.88	0.88	0.3333	0.3333	0.3333	359.9	-1 542c	-1 459c
$W_{d,E00, sRGB}$	88.59	88.59	88.59	0.3333	0.3333	0.3333	0.0	23 516	-1 516c

3-000430-L0

TF410-1N_5

Couleurs base et mélange du sRGB l'espace de couleur pour E00, $Y_w=88,6$

Code	$Y_{88.6}$	$A_{88.6}$	$B_{88.6}$	C_{AB}	a	b	h_{AB}	i_d, λ_d	i_c, λ_c
$R_{d,E00, sRGB}$	22.69	21.32	8.25	22.86	1.9393	-0.0363	21.1	41 606	17 486
$Y_{d,E00, sRGB}$	82.77	-8.71	28.28	29.59	0.8947	-0.0583	107.1	33 568	11 459
$G_{d,E00, sRGB}$	60.07	-30.04	20.02	36.1	0.4999	-0.0666	146.3	28 542	-1 542c
$C_{d,E00, sRGB}$	65.89	-21.32	-8.25	22.86	0.6763	-0.5252	201.1	17 486	41 606
$B_{d,E00, sRGB}$	5.81	8.71	-28.28	29.59	2.4999	-5.2665	287.1	11 459	33 568
$M_{d,E00, sRGB}$	28.51	30.04	-20.02	36.1	2.0536	-1.1024	326.3	-1 542c	28 542
$N_{d,E00, sRGB}$	0.88	0.0	0.0	0.01	0.9998	-0.3999	88.4	23 519	-1 519c
$W_{d,E00, sRGB}$	88.59	0.0	0.0	0.01	1.0	-0.4	0.0	29 548	-1 548c

3-000430-L0

TF410-3N_5

Couleurs base et mélange du sRGB l'espace de couleur pour E00, $Y_w=88,6$

Code	$L^*_{88.6}$	$a^*_{88.6}$	$b^*_{88.6}$	C^*_{ab}	a'	b'	h_{ab}	i_d, λ^*_d	i_c, λ^*_c
$R_{d,E00, sRGB}$	54.77	75.33	67.07	100.87	0.2732	-0.0376	41.6	-1 478c	15 478
$Y_{d,E00, sRGB}$	92.92	-17.09	88.91	90.53	0.2111	-0.044	100.8	33 565	13 469
$G_{d,E00, sRGB}$	81.88	-87.02	75.86	115.45	0.1738	-0.046	138.9	27 535	7 439
$C_{d,E00, sRGB}$	84.94	-53.15	-16.54	55.67	0.1923	-0.0917	197.2	16 483	-1 483c
$B_{d,E00, sRGB}$	28.95	69.12	-105.42	126.06	0.2971	-0.1976	303.2	12 462	29 549
$M_{d,E00, sRGB}$	60.35	89.19	-52.91	103.71	0.2784	-0.1174	329.3	-1 525c	25 525
$N_{d,E00, sRGB}$	8.09	0.0	0.0	0.0	0.219	-0.0837	0.0	-1 525c	-1 462c
$W_{d,E00, sRGB}$	95.41	0.0	0.0	0.0	0.219	-0.0837	0.0	-1 525c	-1 462c

3-000430-L0

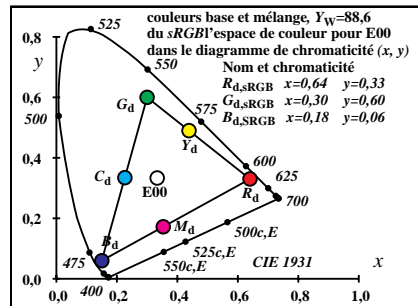
TF410-5N_5

Couleurs base et mélange du sRGB l'espace de couleur pour E00, $Y_w=88,6$

CodeD65	$L^*_{88.6}$	$a^*_{88.6}$	$b^*_{88.6}$	C^*_{ab}	a'	b'	h_{ab}	i_d, λ^*_d	i_c, λ^*_c
$R_{d,E00, sRGB}$	54.77	76.64	65.26	100.66	0.2732	-0.0376	40.4	-1 478c	15 478
$Y_{d,E00, sRGB}$	92.92	-17.38	86.44	88.17	0.2111	-0.044	101.3	33 565	13 469
$G_{d,E00, sRGB}$	81.88	-88.52	73.76	115.23	0.1739	-0.046	140.1	26 534	6 434
$C_{d,E00, sRGB}$	84.94	-54.07	-16.08	56.41	0.1923	-0.0917	196.5	16 484	-1 484c
$B_{d,E00, sRGB}$	28.95	70.36	-102.5	124.33	0.2972	-0.1976	304.4	12 461	29 548
$M_{d,E00, sRGB}$	60.35	90.73	-51.44	104.3	0.2784	-0.1174	330.4	-1 524c	24 524
$N_{d,E00, sRGB}$	8.09	0.0	0.0	0.0	0.2191	-0.0837	159.1	23 516	-1 516c
$W_{d,E00, sRGB}$	95.41	0.0	0.0	0.0	0.2191	-0.0837	180.0	18 493	-1 493c

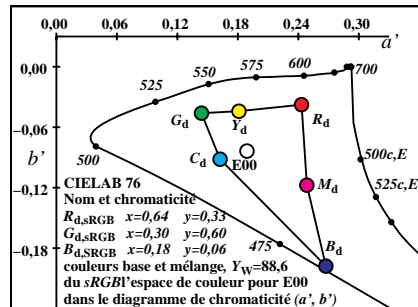
3-000430-L0

TF410-7N_5



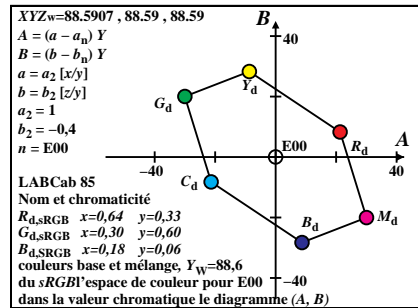
3-000430-L0

TF411-1N_5



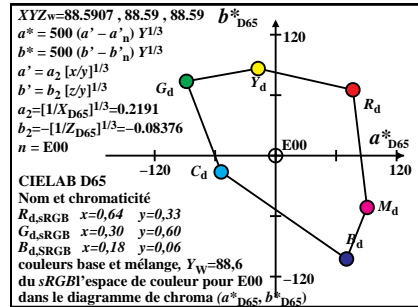
3-000430-L0

TF411-3N_5



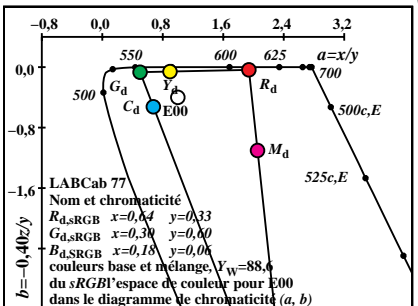
3-000430-L0

TF411-5N_5



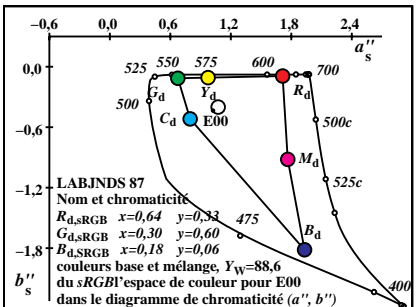
3-000430-L0

TF411-7N_5



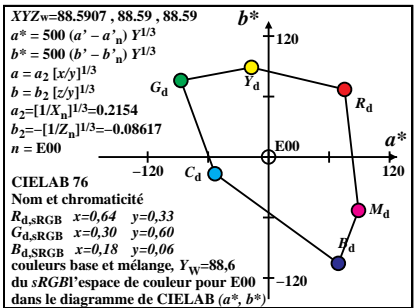
3-000430-L0

TF411-2N_5



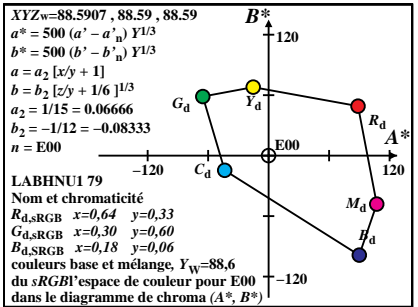
3-000430-L0

TF411-4N_5



3-000430-L0

TF411-6N_5



3-000430-L0

TF411-8N_5

Couleurs base et mélange du sRGB l'espace de couleur pour C00, $Y_w=88,6$

Code	$X_{88.6}$	$Y_{88.6}$	$Z_{88.6}$	x	y	z	h_{xy}	i_d, λ_d	i_c, λ_c
$R_{d,C00, sRGB}$	38.41	19.8	1.8	0.64	0.33	0.0299	2.4	41 605	17 485
$Y_{d,C00, sRGB}$	69.29	81.55	12.09	0.4252	0.5005	0.0742	57.9	33 566	11 459
$G_{d,C00, sRGB}$	30.87	61.74	10.29	0.3	0.6	0.0999	92.0	28 544	-1 544c
$C_{d,C00, sRGB}$	48.46	68.78	102.93	0.2201	0.3123	0.4675	182.4	17 485	41 605
$B_{d,C00, sRGB}$	17.59	7.03	92.64	0.1499	0.0599	0.79	238.0	11 459	33 566
$M_{d,C00, sRGB}$	56.0	26.84	94.44	0.3159	0.1514	0.5326	272.0	-1 544c	28 544
$N_{d,C00, sRGB}$	0.86	0.88	1.04	0.31	0.3161	0.3737	359.9	18 493	-1 493c
$W_{d,C00, sRGB}$	86.88	88.59	104.73	0.31	0.3161	0.3737	359.9	-1 544c	-1 493c

3-000530-L0

TF410-1N_6

Couleurs base et mélange du sRGB l'espace de couleur pour C00, $Y_w=88,6$

Code	$Y_{88.6}$	$A_{88.6}$	$B_{88.6}$	C_{AB}	a	b	h_{AB}	i_d, λ_d	i_c, λ_c
$R_{d,C00, sRGB}$	19.8	18.99	8.64	20.86	1.9393	-0.0363	24.4	41 605	16 484
$Y_{d,C00, sRGB}$	81.55	-10.69	33.73	35.38	0.8496	-0.0593	107.5	33 566	13 465
$G_{d,C00, sRGB}$	61.74	-29.68	25.08	38.86	0.4999	-0.0666	139.8	29 545	-1 545c
$C_{d,C00, sRGB}$	68.78	-18.99	-8.64	20.86	0.7046	-0.5986	204.4	17 487	-1 487c
$B_{d,C00, sRGB}$	7.03	10.68	-33.72	35.38	2.4999	-5.2665	287.5	11 459	32 564
$M_{d,C00, sRGB}$	26.84	29.68	-25.08	38.85	2.0863	-1.4072	319.8	-1 531c	26 531
$N_{d,C00, sRGB}$	0.88	0.0	0.0	0.01	0.9806	-0.4728	86.3	35 576	15 476
$W_{d,C00, sRGB}$	88.59	0.0	0.0	0.01	0.9807	-0.4729	356.2	35 576	15 476

3-000530-L0

TF410-3N_6

Couleurs base et mélange du sRGB l'espace de couleur pour C00, $Y_w=88,6$

Code	$L^*_{88.6}$	$a^*_{88.6}$	$b^*_{88.6}$	C^*_{ab}	a'	b'	h_{ab}	i_d, λ^*_d	i_c, λ^*_c
$R_{d,C00, sRGB}$	51.63	74.36	66.92	100.04	0.2732	-0.0376	41.9	-1 478c	15 478
$Y_{d,C00, sRGB}$	92.38	-21.81	93.3	95.82	0.2075	-0.0443	103.1	32 562	13 469
$G_{d,C00, sRGB}$	82.78	-85.62	81.64	118.3	0.1738	-0.046	136.3	27 535	9 448
$C_{d,C00, sRGB}$	86.4	-46.05	-14.43	48.26	0.1949	-0.0957	197.3	16 483	-1 483c
$B_{d,C00, sRGB}$	31.91	75.51	-101.78	126.74	0.2971	-0.1976	306.5	12 461	28 544
$M_{d,C00, sRGB}$	58.84	92.27	-56.54	108.21	0.2799	-0.1273	328.4	-1 524c	24 524
$N_{d,C00, sRGB}$	8.09	0.0	0.0	0.0	0.2176	-0.0885	0.0	-1 524c	-1 461c
$W_{d,C00, sRGB}$	95.41	0.0	0.0	0.0	0.2176	-0.0885	0.0	-1 524c	-1 461c

3-000530-L0

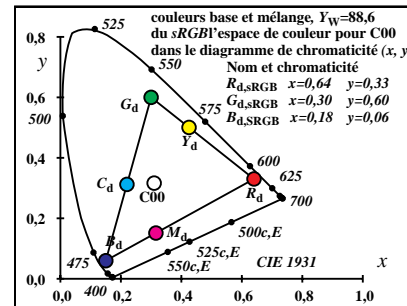
TF410-5N_6

Couleurs base et mélange du sRGB l'espace de couleur pour C00, $Y_w=88,6$

CodeD65	$L^*_{88.6}$	$a^*_{88.6}$	$b^*_{88.6}$	C^*_{ab}	a'	b'	h_{ab}	i_d, λ^*_d	i_c, λ^*_c
$R_{d,C00, sRGB}$	51.63	75.16	68.87	101.94	0.2732	-0.0376	42.5	-1 478c	15 478
$Y_{d,C00, sRGB}$	92.38	-22.04	95.92	98.42	0.2075	-0.0443	102.9	32 563	13 469
$G_{d,C00, sRGB}$	82.78	-86.53	83.94	120.55	0.1739	-0.046	135.8	27 536	9 449
$C_{d,C00, sRGB}$	86.4	-46.54	-14.83	48.85	0.1949	-0.0958	197.6	16 483	-1 483c
$B_{d,C00, sRGB}$	31.91	76.35	-104.65	129.54	0.2972	-0.1976	306.1	12 461	28 544
$M_{d,C00, sRGB}$	58.84	93.25	-58.12	109.88	0.2799	-0.1273	328.0	-1 524c	24 524
$N_{d,C00, sRGB}$	8.09	0.0	0.0	0.0	0.2176	-0.0885	157.8	23 515	-1 515c
$W_{d,C00, sRGB}$	95.41	0.0	0.0	0.0	0.2176	-0.0885	88.2	34 572	14 472

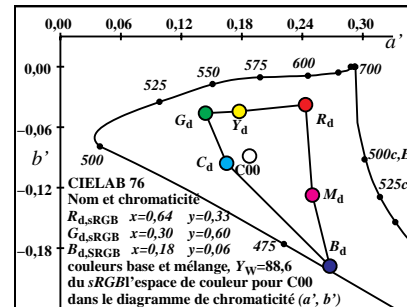
3-000530-L0

TF410-7N_6



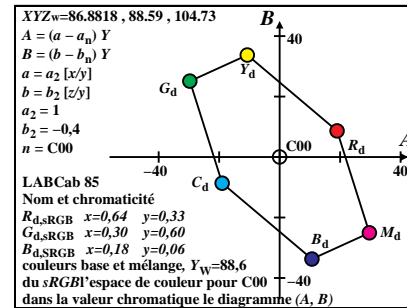
3-000530-L0

TF411-1N_6



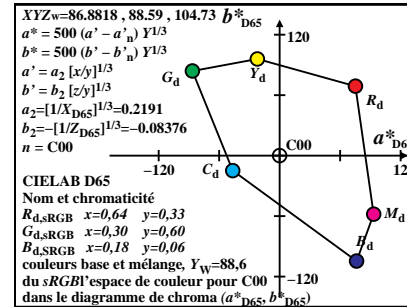
3-000530-L0

TF411-3N_6



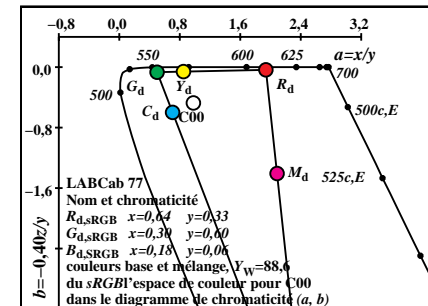
3-000530-L0

TF411-5N_6



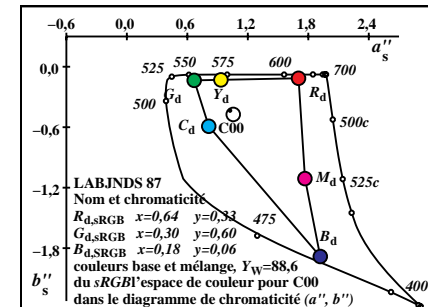
3-000530-L0

TF411-7N_6



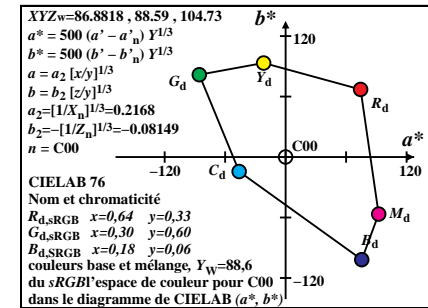
3-000530-L0

TF411-2N_6



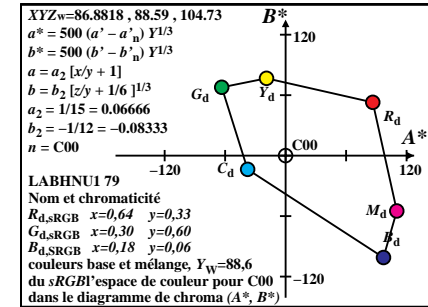
3-000530-L0

TF411-4N_6



3-000530-L0

TF411-6N_6



3-000530-L0

TF411-8N_6

voir des fichiers similaires: http://130.149.60.45/~farbmetrik/TF41/TF41.HTM
 informations techniques: http://www.ps.bam.de ou http://130.149.60.45/~farbmetrik

TUB enregistrement: 20130201-TF41/TF41LONP.PDF /PS
 application pour la mesure de sortie sur écran
 TUB matériel: code=rh4ta

Couleurs base et mélange du sRGB l'espace de couleur pour P00, $Y_w=88,6$

Code	$X_{88.6}$	$Y_{88.6}$	$Z_{88.6}$	x	y	z	h_{xy}	i_d, λ_d	i_c, λ_c
$R_{d,P00, sRGB}$	49.91	25.73	2.33	0.64	0.33	0.03	355.2	41 607	17 488
$Y_{d,P00, sRGB}$	79.07	84.05	12.05	0.4513	0.4797	0.0688	54.2	34 570	11 459
$G_{d,P00, sRGB}$	29.15	58.31	9.71	0.3	0.6	0.0999	103.7	28 540	-1 540c
$C_{d,P00, sRGB}$	40.5	62.85	69.47	0.2343	0.3636	0.4019	175.2	17 488	41 607
$B_{d,P00, sRGB}$	11.34	4.53	59.75	0.15	0.06	0.79	234.3	11 459	34 570
$M_{d,P00, sRGB}$	61.26	30.27	62.09	0.3987	0.197	0.4041	283.8	-1 540c	28 540
$N_{d,P00, sRGB}$	0.9	0.88	0.71	0.3604	0.3531	0.2863	359.9	-1 540c	-1 459c
$W_{d,P00, sRGB}$	90.42	88.59	71.81	0.3604	0.3531	0.2863	0.0	24 520	-1 520c

3-000630-L0

TF410-1N_7

Couleurs base et mélange du sRGB l'espace de couleur pour P00, $Y_w=88,6$

Code	$Y_{88.6}$	$A_{88.6}$	$B_{88.6}$	C_{AB}	a	b	h_{AB}	i_d, λ_d	i_c, λ_c
$R_{d,P00, sRGB}$	25.73	23.64	7.4	24.78	1.9393	-0.0363	17.3	41 608	18 491
$Y_{d,P00, sRGB}$	84.05	-6.71	22.42	23.41	0.9407	-0.0573	106.6	33 569	-1 569c
$G_{d,P00, sRGB}$	58.31	-30.36	15.01	33.87	0.4999	-0.0666	153.6	27 536	-1 536c
$C_{d,P00, sRGB}$	62.85	-23.64	-7.4	24.78	0.6444	-0.4421	197.3	17 487	38 590
$B_{d,P00, sRGB}$	4.53	6.71	-22.42	23.41	2.4999	-5.2665	286.6	12 460	34 571
$M_{d,P00, sRGB}$	30.27	30.36	-15.01	33.87	2.0234	-0.8203	333.6	-1 556c	31 556
$N_{d,P00, sRGB}$	0.88	0.0	0.0	0.01	1.0205	-0.3242	91.9	15 476	35 576
$W_{d,P00, sRGB}$	88.59	0.0	0.0	0.01	1.0206	-0.3242	3.0	15 476	35 576

3-000630-L0

TF410-3N_7

Couleurs base et mélange du sRGB l'espace de couleur pour P00, $Y_w=88,6$

Code	$L^*_{88.6}$	$a^*_{88.6}$	$b^*_{88.6}$	C^*_{ab}	a'	b'	h_{ab}	i_d, λ^*_d	i_c, λ^*_c
$R_{d,P00, sRGB}$	57.79	75.87	65.81	100.43	0.2732	-0.0376	40.9	-1 479c	15 479
$Y_{d,P00, sRGB}$	93.47	-12.64	82.75	83.71	0.2146	-0.0438	98.6	33 568	14 470
$G_{d,P00, sRGB}$	80.91	-88.41	68.45	111.81	0.1738	-0.046	142.2	27 535	2 412
$C_{d,P00, sRGB}$	83.36	-60.86	-18.65	63.65	0.1892	-0.0865	197.0	16 484	-1 484c
$B_{d,P00, sRGB}$	25.4	62.0	-109.28	125.64	0.2971	-0.1976	299.5	12 463	30 554
$M_{d,P00, sRGB}$	61.9	86.01	-48.69	98.83	0.277	-0.1063	330.4	-1 527c	25 527
$N_{d,P00, sRGB}$	8.09	0.0	0.0	0.0	0.2205	-0.078	0.0	-1 527c	-1 463c
$W_{d,P00, sRGB}$	95.41	0.0	0.0	0.0	0.2205	-0.078	0.0	-1 527c	-1 463c

3-000630-L0

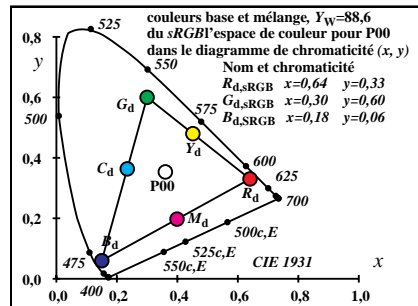
TF410-5N_7

Couleurs base et mélange du sRGB l'espace de couleur pour P00, $Y_w=88,6$

CodeD65	$L^*_{88.6}$	$a^*_{88.6}$	$b^*_{88.6}$	C^*_{ab}	a'	b'	h_{ab}	i_d, λ^*_d	i_c, λ^*_c
$R_{d,P00, sRGB}$	57.79	77.71	59.69	97.99	0.2732	-0.0376	37.5	-1 479c	15 479
$Y_{d,P00, sRGB}$	93.47	-12.94	75.01	76.12	0.2147	-0.0438	99.7	33 567	13 469
$G_{d,P00, sRGB}$	80.91	-90.55	62.05	109.77	0.1739	-0.046	145.5	26 532	-1 532c
$C_{d,P00, sRGB}$	83.36	-62.33	-16.91	64.58	0.1892	-0.0866	195.1	17 485	-1 485c
$B_{d,P00, sRGB}$	25.4	63.55	-99.08	117.71	0.2972	-0.1976	302.6	12 461	30 552
$M_{d,P00, sRGB}$	61.9	88.09	-44.13	98.53	0.2771	-0.1064	333.3	-1 524c	24 524
$N_{d,P00, sRGB}$	8.09	0.0	0.0	0.0	0.2206	-0.078	160.4	23 517	-1 517c
$W_{d,P00, sRGB}$	95.41	0.0	0.0	0.0	0.2206	-0.078	0.0	-1 524c	-1 517c

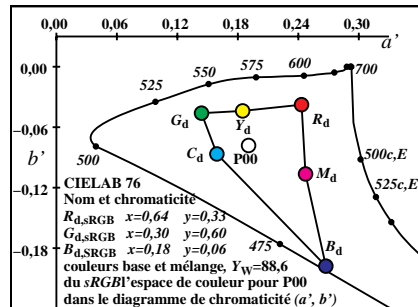
3-000630-L0

TF410-7N_7



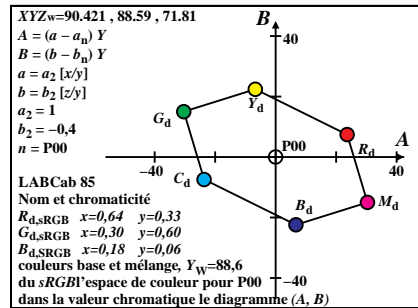
3-000630-L0

TF411-1N_7



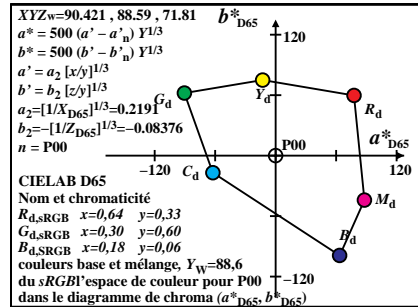
3-000630-L0

TF411-3N_7



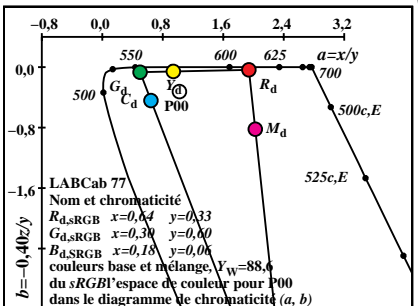
3-000630-L0

TF411-5N_7



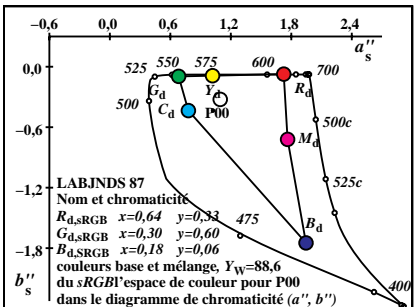
3-000630-L0

TF411-7N_7



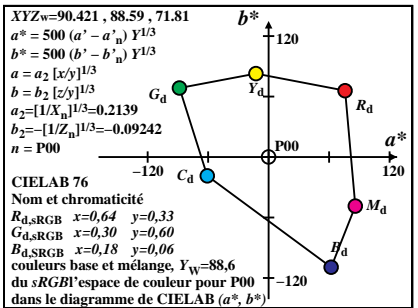
3-000630-L0

TF411-2N_7



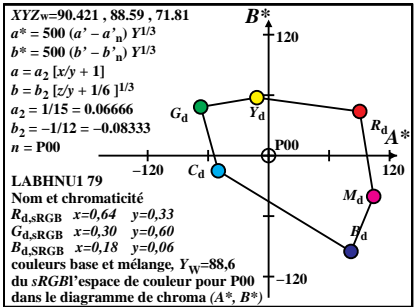
3-000630-L0

TF411-4N_7



3-000630-L0

TF411-6N_7



3-000630-L0

TF411-8N_7

Couleurs base et mélange du sRGB l'espace de couleur pour Q00, $Y_w=88,6$

Code	$X_{88.6}$	$Y_{88.6}$	$Z_{88.6}$	x	y	z	h_{xy}	i_d, λ_d	i_c, λ_c
$R_{d,Q00, sRGB}$	38.12	19.65	1.78	0.64	0.33	0.03	2.4	41 605	17 485
$Y_{d,Q00, sRGB}$	69.04	81.5	12.09	0.4245	0.5011	0.0743	58.0	33 566	11 459
$G_{d,Q00, sRGB}$	30.92	61.84	10.3	0.3	0.6	0.0999	91.8	28 544	-1 544c
$C_{d,Q00, sRGB}$	48.63	68.93	103.59	0.2199	0.3116	0.4684	182.4	17 485	41 605
$B_{d,Q00, sRGB}$	17.71	7.08	93.28	0.15	0.06	0.79	238.1	11 459	33 566
$M_{d,Q00, sRGB}$	55.83	26.74	95.07	0.3142	0.1505	0.5351	271.8	-1 544c	28 544
$N_{d,Q00, sRGB}$	0.86	0.88	1.05	0.309	0.3155	0.3753	359.9	-1 544c	-1 459c
$W_{d,Q00, sRGB}$	86.75	88.59	105.38	0.309	0.3155	0.3753	359.9	-1 544c	-1 459c

3-000730-L0

TF410-1N_8

Couleurs base et mélange du sRGB l'espace de couleur pour Q00, $Y_w=88,6$

Code	$Y_{88.6}$	$A_{88.6}$	$B_{88.6}$	C_{AB}	a	b	h_{AB}	i_d, λ_d	i_c, λ_c
$R_{d,Q00, sRGB}$	19.65	18.87	8.63	20.75	1.9393	-0.0363	24.5	41 605	16 484
$Y_{d,Q00, sRGB}$	81.5	-10.77	33.94	35.61	0.8471	-0.0593	107.6	33 566	13 465
$G_{d,Q00, sRGB}$	61.84	-29.64	25.3	38.97	0.4999	-0.0666	139.5	29 545	-1 545c
$C_{d,Q00, sRGB}$	68.93	-18.87	-8.63	20.75	0.7055	-0.6011	204.5	17 487	-1 487c
$B_{d,Q00, sRGB}$	7.08	10.77	-33.94	35.61	2.4999	-5.2665	287.6	11 459	32 564
$M_{d,Q00, sRGB}$	26.74	29.64	-25.3	38.97	2.0879	-1.422	319.5	-1 531c	26 531
$N_{d,Q00, sRGB}$	0.88	0.0	0.0	0.01	0.9792	-0.4757	86.1	35 576	15 476
$W_{d,Q00, sRGB}$	88.59	0.0	0.0	0.01	0.9793	-0.4758	0.0	35 576	15 476

3-000730-L0

TF410-3N_8

Couleurs base et mélange du sRGB l'espace de couleur pour Q00, $Y_w=88,6$

Code	$L^*_{88.6}$	$a^*_{88.6}$	$b^*_{88.6}$	C^*_{ab}	a'	b'	h_{ab}	i_d, λ^*_d	i_c, λ^*_c
$R_{d,Q00, sRGB}$	51.45	74.34	66.84	99.97	0.2732	-0.0376	41.9	-1 478c	15 478
$Y_{d,Q00, sRGB}$	92.36	-22.03	93.44	96.01	0.2072	-0.0443	103.2	32 562	13 469
$G_{d,Q00, sRGB}$	82.83	-85.5	81.87	118.38	0.1738	-0.046	136.2	27 535	9 449
$C_{d,Q00, sRGB}$	86.47	-45.72	-14.31	47.91	0.195	-0.0959	197.3	16 483	-1 483c
$B_{d,Q00, sRGB}$	32.02	75.82	-101.64	126.8	0.2971	-0.1976	306.7	12 461	28 544
$M_{d,Q00, sRGB}$	58.74	92.45	-56.74	108.47	0.2799	-0.1278	328.4	-1 524c	24 524
$N_{d,Q00, sRGB}$	8.09	0.0	0.0	0.0	0.2175	-0.0887	0.0	-1 524c	-1 461c
$W_{d,Q00, sRGB}$	95.41	0.0	0.0	0.0	0.2175	-0.0887	0.0	-1 524c	-1 461c

3-000730-L0

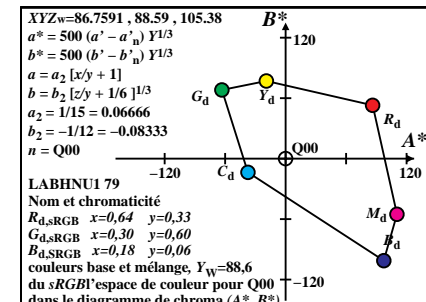
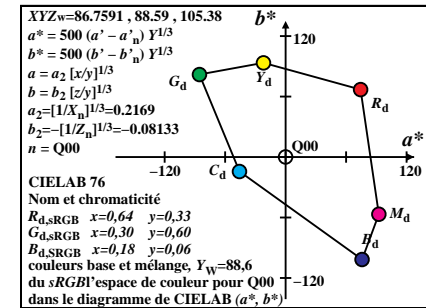
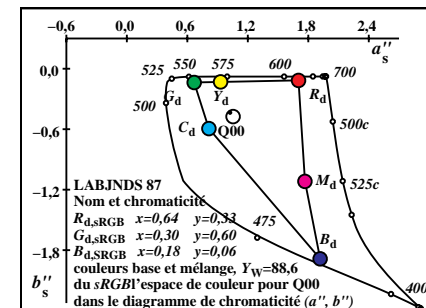
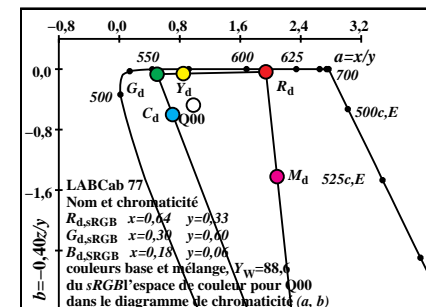
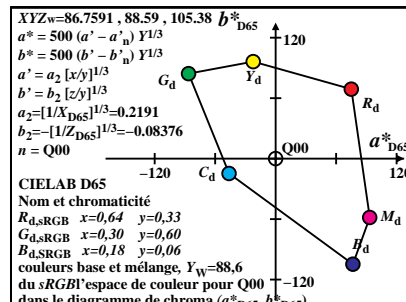
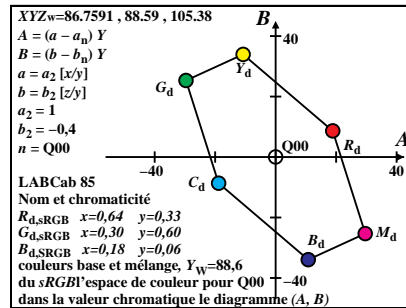
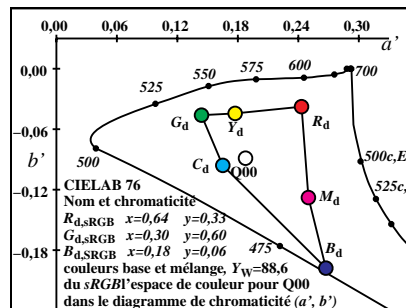
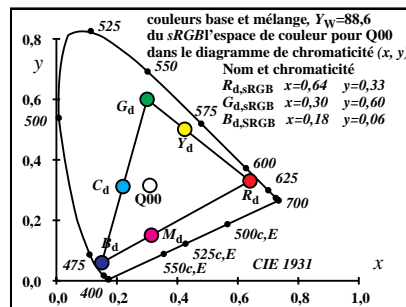
TF410-5N_8

Couleurs base et mélange du sRGB l'espace de couleur pour Q00, $Y_w=88,6$

CodeD65	$L^*_{88.6}$	$a^*_{88.6}$	$b^*_{88.6}$	C^*_{ab}	a'	b'	h_{ab}	i_d, λ^*_d	i_c, λ^*_c
$R_{d,Q00, sRGB}$	51.45	75.1	68.94	101.94	0.2732	-0.0376	42.5	-1 478c	15 478
$Y_{d,Q00, sRGB}$	92.36	-22.25	96.26	98.8	0.2073	-0.0443	103.0	32 563	13 469
$G_{d,Q00, sRGB}$	82.83	-86.38	84.34	120.73	0.1739	-0.046	135.6	27 536	10 450
$C_{d,Q00, sRGB}$	86.47	-46.18	-14.74	48.48	0.195	-0.0959	197.7	16 483	-1 483c
$B_{d,Q00, sRGB}$	32.02	76.62	-104.71	129.75	0.2972	-0.1976	306.1	12 461	28 544
$M_{d,Q00, sRGB}$	58.74	93.39	-58.44	110.17	0.28	-0.1278	327.9	-1 524c	24 524
$N_{d,Q00, sRGB}$	8.09	0.0	0.0	0.0	0.2175	-0.0887	157.7	23 515	-1 515c
$W_{d,Q00, sRGB}$	95.41	0.0	0.0	0.0	0.2175	-0.0887	180.0	18 491	-1 491c

3-000730-L0

TF410-7N_8



voir des fichiers similaires: http://130.149.60.45/~farbmetrik/TF41/TF41.HTM
 informations techniques: http://www.ps.bam.de ou http://130.149.60.45/~farbmetrik

TUB enregistrement: 20130201-TF41/TF41LONP.PDF /PS
 application pour la mesure de sortie sur écran
 TUB matériel: code=rh4ta

Couleurs base et mélange du sRGB l'espace de couleur pour D65, $Y_{w,10}=88,6$

Code	$X_{88.6}$	$Y_{88.6}$	$Z_{88.6}$	x	y	z	h_{xy}	i_d, λ_d	i_c, λ_c
$R_{d,D65, sRGB}$	36.54	18.84	1.71	0.64	0.3299	0.03	359.8	41 608	16 480
$Y_{d,D65, sRGB}$	68.27	82.3	12.28	0.4192	0.5053	0.0754	58.8	32 560	10 451
$G_{d,D65, sRGB}$	31.72	63.45	10.57	0.3	0.6	0.0999	92.9	27 537	-1 537c
$C_{d,D65, sRGB}$	47.45	69.74	93.37	0.2253	0.3312	0.4434	179.8	16 480	41 608
$B_{d,D65, sRGB}$	15.72	6.28	82.79	0.1499	0.0599	0.7899	238.8	10 451	32 560
$M_{d,D65, sRGB}$	52.26	25.13	84.51	0.3228	0.1552	0.5219	272.9	-1 537c	27 537
$N_{d,D65, sRGB}$	0.83	0.88	0.95	0.3137	0.3309	0.3552	359.9	-1 537c	-1 451c
$W_{d,D65, sRGB}$	83.99	88.59	95.08	0.3137	0.3309	0.3552	359.9	-1 537c	-1 451c

3-001030-L0 TF410-1N_1

Couleurs base et mélange du sRGB l'espace de couleur pour D65, $Y_{w,10}=88,6$

Code	$Y_{88.6}$	$A_{88.6}$	$B_{88.6}$	C_{AB}	a	b	h_{AB}	i_d, λ_d	i_c, λ_c
$R_{d,D65, sRGB}$	18.84	18.67	7.4	20.09	1.9393	-0.0363	21.6	41 608	16 480
$Y_{d,D65, sRGB}$	82.3	-9.75	30.41	31.94	0.8295	-0.0597	107.7	32 560	12 461
$G_{d,D65, sRGB}$	63.45	-28.43	23.01	36.58	0.4999	-0.0666	141.0	27 538	-1 538c
$C_{d,D65, sRGB}$	69.74	-18.67	-7.4	20.09	0.6803	-0.5355	201.6	16 480	43 617
$B_{d,D65, sRGB}$	6.28	9.75	-30.41	31.94	2.4999	-5.2665	287.7	10 451	31 556
$M_{d,D65, sRGB}$	25.13	28.43	-23.01	36.58	2.0796	-1.345	321.0	-1 527c	25 527
$N_{d,D65, sRGB}$	0.88	0.0	0.0	0.01	0.948	-0.4292	81.8	38 594	15 478
$W_{d,D65, sRGB}$	88.59	0.0	0.0	0.01	0.9481	-0.4293	1.6	38 594	15 478

3-001030-L0 TF410-3N_1

Couleurs base et mélange du sRGB l'espace de couleur pour D65, $Y_{w,10}=88,6$

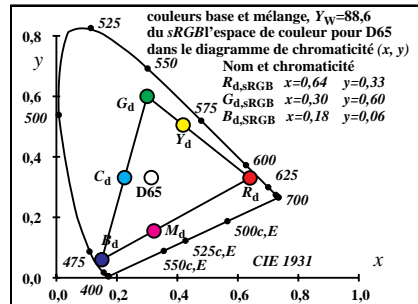
Code	$L^*_{88.6}$	$a^*_{88.6}$	$b^*_{88.6}$	C^*_{ab}	a'	b'	h_{ab}	i_d, λ^*_d	i_c, λ^*_c
$R_{d,D65, sRGB}$	50.51	77.2	64.22	100.42	0.2732	-0.0376	39.7	-1 473c	14 473
$Y_{d,D65, sRGB}$	92.71	-20.4	90.29	92.56	0.2058	-0.0444	102.7	31 555	12 463
$G_{d,D65, sRGB}$	83.68	-82.52	79.46	114.56	0.1738	-0.046	136.0	25 529	7 435
$C_{d,D65, sRGB}$	86.87	-46.43	-13.55	48.37	0.1926	-0.0923	196.2	15 477	-1 477c
$B_{d,D65, sRGB}$	30.15	75.8	-103.85	128.58	0.2971	-0.1976	306.1	10 453	27 538
$M_{d,D65, sRGB}$	57.21	94.42	-58.45	111.05	0.2796	-0.1254	328.2	-1 519c	23 519
$N_{d,D65, sRGB}$	8.09	0.0	0.0	0.0	0.2152	-0.0857	0.0	-1 519c	-1 453c
$W_{d,D65, sRGB}$	95.41	0.0	0.0	0.0	0.2152	-0.0857	0.0	-1 519c	-1 453c

3-001030-L0 TF410-5N_1

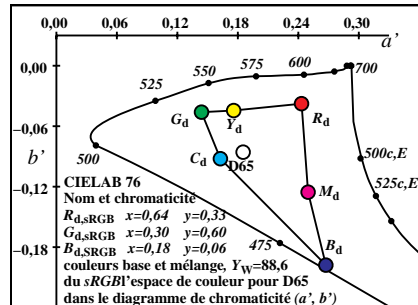
Couleurs base et mélange du sRGB l'espace de couleur pour D65, $Y_{w,10}=88,6$

CodeD65	$L^*_{88.6}$	$a^*_{88.6}$	$b^*_{88.6}$	C^*_{ab}	a'	b'	h_{ab}	i_d, λ^*_d	i_c, λ^*_c
$R_{d,D65, sRGB}$	50.51	77.16	63.99	100.24	0.2732	-0.0376	39.6	-1 473c	14 473
$Y_{d,D65, sRGB}$	92.71	-20.39	89.87	92.16	0.2058	-0.0444	102.7	31 555	12 463
$G_{d,D65, sRGB}$	83.68	-82.46	79.11	114.27	0.1739	-0.046	136.1	25 529	6 434
$C_{d,D65, sRGB}$	86.87	-46.4	-13.49	48.32	0.1927	-0.0923	196.2	15 477	-1 477c
$B_{d,D65, sRGB}$	30.15	75.79	-103.39	128.2	0.2972	-0.1976	306.2	10 453	27 538
$M_{d,D65, sRGB}$	57.21	94.36	-58.18	110.86	0.2796	-0.1254	328.3	-1 519c	23 519
$N_{d,D65, sRGB}$	8.09	0.0	0.0	0.0	0.2152	-0.0857	158.2	22 510	-1 510c
$W_{d,D65, sRGB}$	95.41	0.0	0.0	0.0	0.2152	-0.0857	180.0	17 486	-1 486c

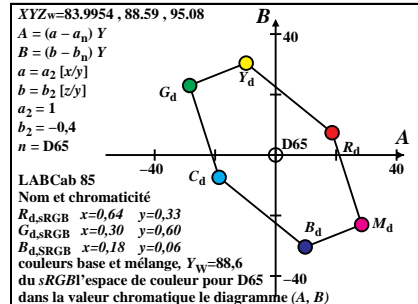
3-001030-L0 TF410-7N_1



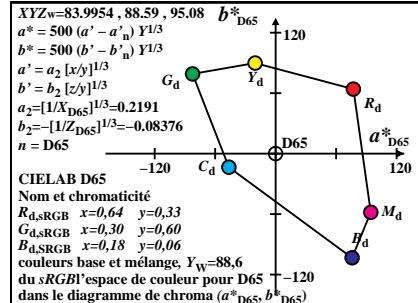
3-001030-L0 TF411-1N_1



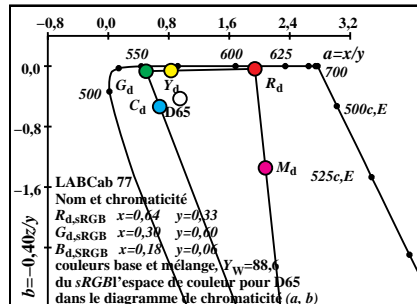
3-001030-L0 TF411-3N_1



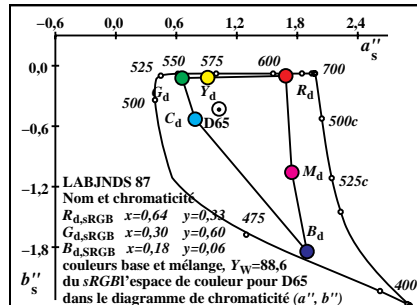
3-001030-L0 TF411-5N_1



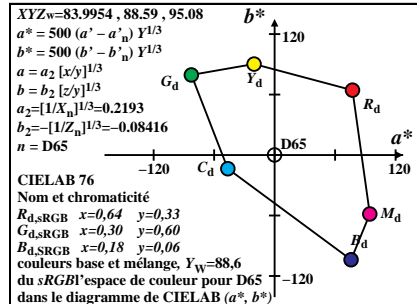
3-001030-L0 TF411-7N_1



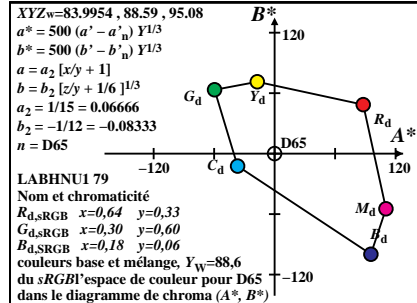
3-001030-L0 TF411-2N_1



3-001030-L0 TF411-4N_1



3-001030-L0 TF411-6N_1



3-001030-L0 TF411-8N_1

voir des fichiers similaires: http://130.149.60.45/~farbmetrik/TF41/TF41.LONP.PDF /PS
 informations techniques: http://www.ps.bam.de ou http://130.149.60.45/~farbmetrik

TUB enregistrement: 20130201-TF41/TF41LONP.PDF /PS
 application pour la mesure de sortie sur écran
 TUB matériel: code=rh4ta

Couleurs base et mélange du sRGB l'espace de couleur pour D50, $Y_w=10=88,6$

Code	$X_{88.6}$	$Y_{88.6}$	$Z_{88.6}$	x	y	z	h_{xy}	i_d, λ_d	i_c, λ_c
$R_{d,D50, sRGB}$	43.53	22.44	2.04	0.64	0.3299	0.03	354.2	42 610	16 482
$Y_{d,D50, sRGB}$	74.33	84.04	12.3	0.4354	0.4924	0.0721	56.5	32 562	10 451
$G_{d,D50, sRGB}$	30.8	61.6	10.26	0.3	0.6	0.0999	101.2	26 534	-1 534c
$C_{d,D50, sRGB}$	42.15	66.14	70.08	0.2363	0.3707	0.3928	174.2	16 482	42 610
$B_{d,D50, sRGB}$	11.35	4.54	59.81	0.15	0.06	0.79	236.5	10 451	32 562
$M_{d,D50, sRGB}$	54.88	26.98	61.85	0.3818	0.1877	0.4303	281.2	-1 534c	26 534
$N_{d,D50, sRGB}$	0.85	0.88	0.72	0.3477	0.3595	0.2927	0.0	22 510	-1 510c
$W_{d,D50, sRGB}$	85.68	88.59	72.12	0.3477	0.3595	0.2927	0.0	-1 534c	-1 510c

3-001130-L0

TF410-1N_2

Couleurs base et mélange du sRGB l'espace de couleur pour D50, $Y_w=10=88,6$

Code	$Y_{88.6}$	$A_{88.6}$	$B_{88.6}$	C_{AB}	a	b	h_{AB}	i_d, λ_d	i_c, λ_c
$R_{d,D50, sRGB}$	22.44	21.82	6.49	22.76	1.9393	-0.0363	16.5	42 612	17 486
$Y_{d,D50, sRGB}$	84.04	-6.96	22.44	23.5	0.8844	-0.0585	107.2	32 562	11 456
$G_{d,D50, sRGB}$	61.6	-28.78	15.95	32.9	0.4999	-0.0666	151.0	26 532	-1 532c
$C_{d,D50, sRGB}$	66.14	-21.82	-6.49	22.76	0.6373	-0.4238	196.5	16 480	36 582
$B_{d,D50, sRGB}$	4.54	6.96	-22.44	23.5	2.4999	-5.2665	287.2	10 451	32 562
$M_{d,D50, sRGB}$	26.98	28.78	-15.95	32.9	2.0337	-0.9167	331.0	-1 544c	28 544
$N_{d,D50, sRGB}$	0.88	0.0	0.0	0.01	0.9671	-0.3256	83.1	6 430	32 560
$W_{d,D50, sRGB}$	88.59	0.0	0.0	0.01	0.9672	-0.3256	8.7	6 430	32 560

3-001130-L0

TF410-3N_2

Couleurs base et mélange du sRGB l'espace de couleur pour D50, $Y_w=10=88,6$

Code	$L^*_{88.6}$	$a^*_{88.6}$	$b^*_{88.6}$	C^*_{ab}	a'	b'	h_{ab}	i_d, λ^*_d	i_c, λ^*_c
$R_{d,D50, sRGB}$	54.5	79.28	62.95	101.24	0.2732	-0.0376	38.4	-1 473c	14 473
$Y_{d,D50, sRGB}$	93.47	-13.87	82.18	83.34	0.2102	-0.0441	99.5	31 559	12 463
$G_{d,D50, sRGB}$	82.7	-83.98	69.86	109.24	0.1738	-0.046	140.2	25 529	-1 529c
$C_{d,D50, sRGB}$	85.07	-56.54	-15.99	58.76	0.1885	-0.0853	195.7	15 479	-1 479c
$B_{d,D50, sRGB}$	25.42	66.36	-109.06	127.66	0.2971	-0.1976	301.3	11 455	28 544
$M_{d,D50, sRGB}$	58.97	90.81	-53.24	105.27	0.2775	-0.1104	329.6	-1 521c	24 521
$N_{d,D50, sRGB}$	8.09	0.0	0.0	0.0	0.2166	-0.0782	0.0	-1 521c	-1 455c
$W_{d,D50, sRGB}$	95.41	0.0	0.0	0.0	0.2166	-0.0782	0.0	-1 521c	-1 455c

3-001130-L0

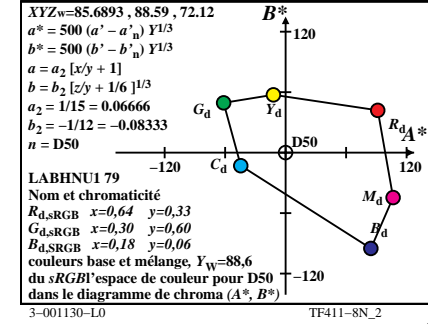
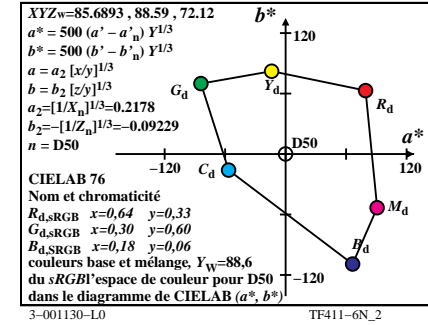
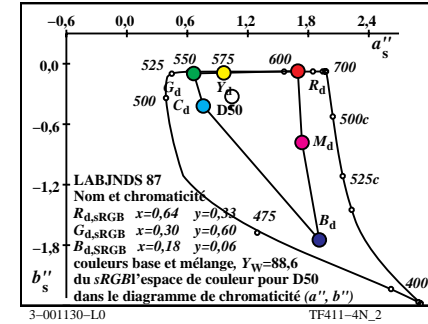
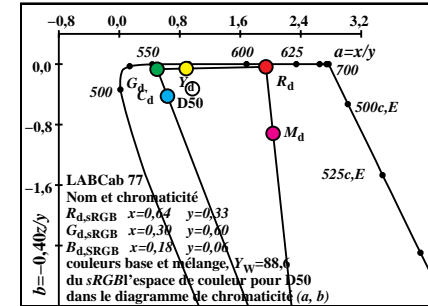
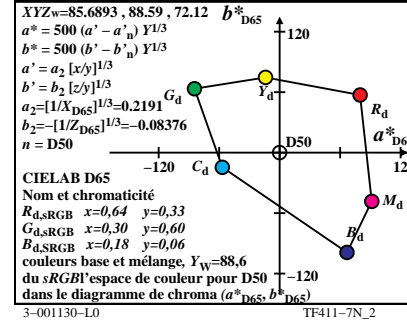
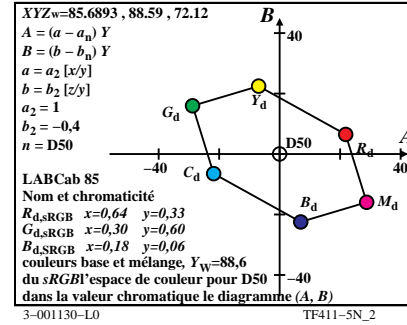
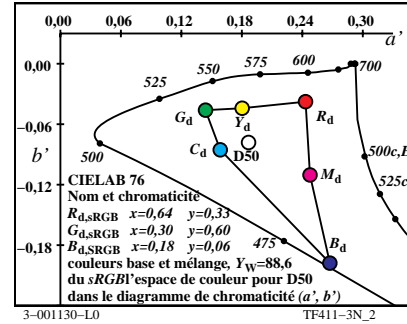
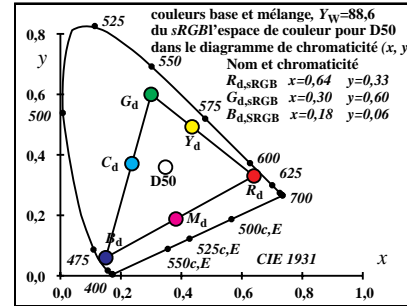
TF410-5N_2

Couleurs base et mélange du sRGB l'espace de couleur pour D50, $Y_w=10=88,6$

CodeD65	$L^*_{88.6}$	$a^*_{88.6}$	$b^*_{88.6}$	C^*_{ab}	a'	b'	h_{ab}	i_d, λ^*_d	i_c, λ^*_c
$R_{d,D50, sRGB}$	54.5	79.76	57.19	98.15	0.2732	-0.0376	35.6	-1 474c	14 474
$Y_{d,D50, sRGB}$	93.47	-13.95	74.6	75.9	0.2103	-0.0441	100.5	31 558	12 463
$G_{d,D50, sRGB}$	82.7	-84.49	63.42	105.64	0.1739	-0.046	143.1	25 527	-1 527c
$C_{d,D50, sRGB}$	85.07	-56.88	-14.51	58.7	0.1885	-0.0853	194.3	15 479	-1 479c
$B_{d,D50, sRGB}$	25.42	66.82	-99.02	119.46	0.2972	-0.1976	304.0	10 453	28 542
$M_{d,D50, sRGB}$	58.97	91.36	-48.33	103.36	0.2775	-0.1104	332.1	-1 519c	23 519
$N_{d,D50, sRGB}$	8.09	0.0	0.0	0.0	0.2166	-0.0782	160.1	22 511	-1 511c
$W_{d,D50, sRGB}$	95.41	0.0	0.0	0.0	0.2166	-0.0782	152.7	23 518	-1 518c

3-001130-L0

TF410-7N_2



voir des fichiers similaires: http://130.149.60.45/~farbmetrik/TF41/TF41.HTM
 informations techniques: http://www.ps.bam.de ou http://130.149.60.45/~farbmetrik

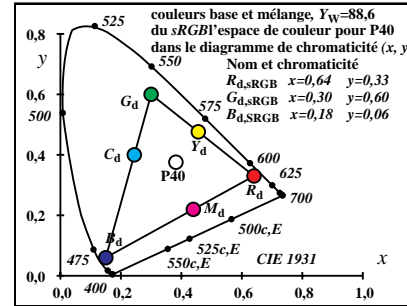
TUB enregistrement: 20130201-TF41/TF41LONP.PDF /PS
 application pour la mesure de sortie sur écran
 TUB matériel: code=rh4ta

Couleurs base et mélange du sRGB l'espace de couleur pour P40, $Y_w=88,6$

Code	$X_{88,6}$	$Y_{88,6}$	$Z_{88,6}$	x	y	z	h_{xy}	i_d, λ_d	i_c, λ_c
$R_{d,P40, sRGB}$	52.57	27.1	2.46	0.64	0.33	0.03	349.9	42 611	16 484
$Y_{d,P40, sRGB}$	81.6	85.17	12.14	0.456	0.476	0.0678	53.6	33 565	10 452
$G_{d,P40, sRGB}$	29.03	58.06	9.67	0.3	0.6	0.0999	110.1	26 531	-1 531c
$C_{d,P40, sRGB}$	37.56	61.48	54.62	0.2444	0.4	0.3554	169.9	16 484	42 611
$B_{d,P40, sRGB}$	8.53	3.41	44.95	0.15	0.0599	0.79	233.6	10 452	33 565
$M_{d,P40, sRGB}$	61.1	30.52	47.41	0.4394	0.2195	0.341	290.1	-1 531c	26 531
$N_{d,P40, sRGB}$	0.9	0.88	0.57	0.3822	0.3756	0.2421	359.9	-1 531c	-1 452c
$W_{d,P40, sRGB}$	90.14	88.59	57.09	0.3822	0.3756	0.2421	359.9	-1 531c	-1 452c

3-001230-L0

TF410-1N_3



3-001230-L0

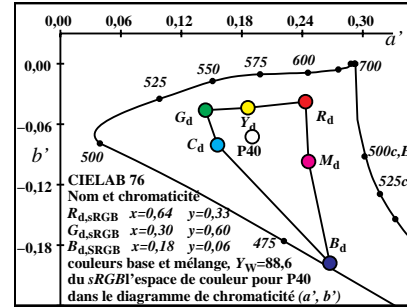
TF411-1N_3

Couleurs base et mélange du sRGB l'espace de couleur pour P40, $Y_w=88,6$

Code	$Y_{88,6}$	$A_{88,6}$	$B_{88,6}$	C_{AB}	a	b	h_{AB}	i_d, λ_d	i_c, λ_c
$R_{d,P40, sRGB}$	27.1	24.98	6.0	25.7	1.9393	-0.0363	13.5	46 630	18 494
$Y_{d,P40, sRGB}$	85.17	-5.06	17.1	17.83	0.958	-0.057	106.4	32 563	-1 563c
$G_{d,P40, sRGB}$	58.06	-30.05	11.09	32.03	0.4999	-0.0666	159.7	22 514	-1 514c
$C_{d,P40, sRGB}$	61.48	-24.98	-6.0	25.7	0.611	-0.3554	193.5	16 481	35 577
$B_{d,P40, sRGB}$	3.41	5.06	-17.09	17.83	2.4999	-5.2665	286.4	10 452	33 568
$M_{d,P40, sRGB}$	30.52	30.05	-11.09	32.03	2.002	-0.6214	339.7	-1 560c	32 560
$N_{d,P40, sRGB}$	0.88	0.0	0.0	0.01	1.0174	-0.2577	91.6	13 467	34 570
$W_{d,P40, sRGB}$	88.59	0.0	0.0	0.01	1.0175	-0.2577	1.6	13 467	34 570

3-001230-L0

TF410-3N_3



3-001230-L0

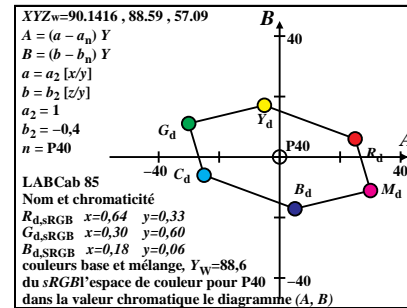
TF411-3N_3

Couleurs base et mélange du sRGB l'espace de couleur pour P40, $Y_w=88,6$

Code	$L^*_{88,6}$	$a^*_{88,6}$	$b^*_{88,6}$	C^*_{ab}	a'	b'	h_{ab}	i_d, λ^*_d	i_c, λ^*_c
$R_{d,P40, sRGB}$	59.08	77.6	62.01	99.34	0.2732	-0.0376	38.6	-1 474c	14 474
$Y_{d,P40, sRGB}$	93.96	-9.41	74.91	75.5	0.2159	-0.0437	97.1	32 563	12 463
$G_{d,P40, sRGB}$	80.78	-87.95	60.53	106.77	0.1738	-0.046	145.4	25 529	-1 529c
$C_{d,P40, sRGB}$	82.64	-66.44	-19.21	69.17	0.1859	-0.0805	196.1	16 480	-1 480c
$B_{d,P40, sRGB}$	21.66	56.59	-112.43	125.87	0.2971	-0.1976	296.7	11 456	30 550
$M_{d,P40, sRGB}$	62.11	85.18	-45.88	96.76	0.2761	-0.0969	331.6	-1 523c	24 523
$N_{d,P40, sRGB}$	8.09	0.0	0.0	0.0	0.2203	-0.0723	0.0	-1 523c	-1 456c
$W_{d,P40, sRGB}$	95.41	0.0	0.0	0.0	0.2203	-0.0723	0.0	-1 523c	-1 456c

3-001230-L0

TF410-5N_3



3-001230-L0

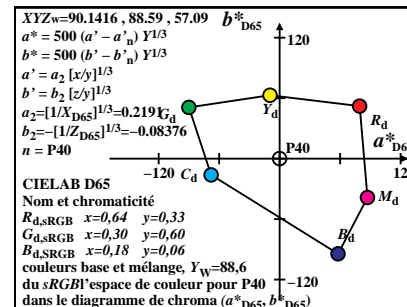
TF411-5N_3

Couleurs base et mélange du sRGB l'espace de couleur pour P40, $Y_w=88,6$

Code D65	$L^*_{88,6}$	$a^*_{88,6}$	$b^*_{88,6}$	C^*_{ab}	a'	b'	h_{ab}	i_d, λ^*_d	i_c, λ^*_c
$R_{d,P40, sRGB}$	59.08	79.4	52.1	94.97	0.2732	-0.0376	33.2	-1 475c	15 475
$Y_{d,P40, sRGB}$	93.96	-9.62	62.9	63.64	0.216	-0.0437	98.7	32 562	12 463
$G_{d,P40, sRGB}$	80.78	-89.99	50.83	103.35	0.1739	-0.046	150.5	24 524	-1 524c
$C_{d,P40, sRGB}$	82.64	-67.98	-16.13	69.87	0.1859	-0.0805	193.3	16 481	-1 481c
$B_{d,P40, sRGB}$	21.66	57.97	-94.44	110.81	0.2972	-0.1976	301.5	10 453	29 547
$M_{d,P40, sRGB}$	62.11	87.16	-38.53	95.29	0.2761	-0.0969	336.1	-1 519c	23 519
$N_{d,P40, sRGB}$	8.09	0.0	0.0	0.0	0.2203	-0.0723	161.7	22 513	-1 513c
$W_{d,P40, sRGB}$	95.41	0.0	0.0	0.0	0.2203	-0.0723	86.5	33 569	13 465

3-001230-L0

TF410-7N_3



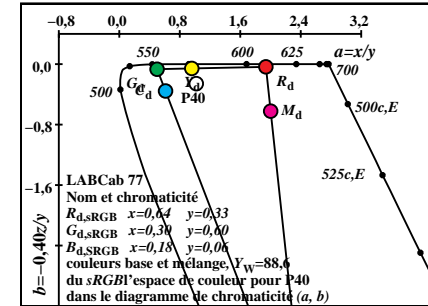
3-001230-L0

TF411-7N_3

TUB-test graphique TF41; sRGB: Basic and mixture colours entrée: w/rgb/cmyk -> w/rgb/cmyk-
 XYZ, YABCh, LabCh* data; 2° and 10°, Yn=88,6
 sortie: aucun changement

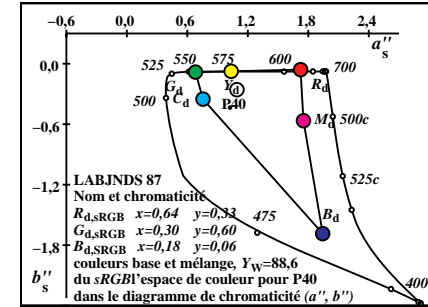
3-001230-L0

TF410-9N_3



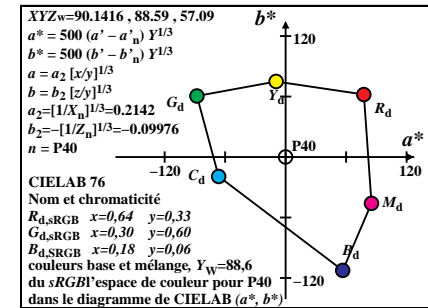
3-001230-L0

TF411-2N_3



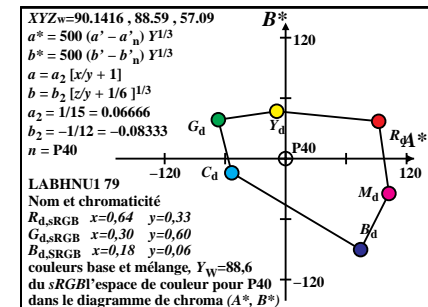
3-001230-L0

TF411-4N_3



3-001230-L0

TF411-6N_3



3-001230-L0

TF411-8N_3

TUB enregistrement: 20130201-TF41/TF41LONP.PDF /PS
 application pour la mesure de sortie sur écran

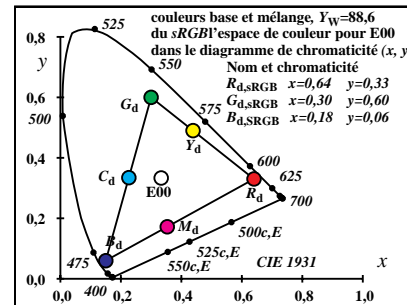
TUB matériel: code=rha4ta

Couleurs base et mélange du sRGB l'espace de couleur pour E00, $Y_w=10=88,6$

Code	$X_{88.6}$	$Y_{88.6}$	$Z_{88.6}$	x	y	z	h_{xy}	i_d, λ_d	i_c, λ_c
$R_{d,E00, sRGB}$	44.0	22.69	2.06	0.64	0.33	0.0299	359.3	41 608	16 480
$Y_{d,E00, sRGB}$	74.05	82.77	12.07	0.4384	0.49	0.0715	56.1	32 563	10 452
$G_{d,E00, sRGB}$	30.04	60.08	10.01	0.3	0.6	0.0999	97.0	27 536	-1 536c
$C_{d,E00, sRGB}$	44.57	65.89	86.53	0.2262	0.3344	0.4392	179.3	16 480	41 608
$B_{d,E00, sRGB}$	14.52	5.81	76.52	0.1499	0.0599	0.7899	236.1	10 452	32 563
$M_{d,E00, sRGB}$	58.53	28.5	78.58	0.3534	0.172	0.4744	277.1	-1 536c	27 536
$N_{d,E00, sRGB}$	0.88	0.88	0.88	0.3333	0.3333	0.3333	0.0	-1 536c	-1 452c
$W_{d,E00, sRGB}$	88.58	88.59	88.59	0.3333	0.3333	0.3333	0.0	-1 536c	-1 452c

3-001430-L0

TF410-1N_5



3-001430-L0

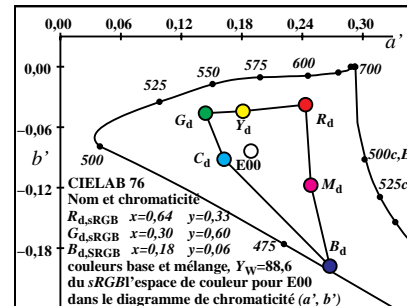
TF411-1N_5

Couleurs base et mélange du sRGB l'espace de couleur pour E00, $Y_w=10=88,6$

Code	$Y_{88.6}$	$A_{88.6}$	$B_{88.6}$	C_{AB}	a	b	h_{AB}	i_d, λ_d	i_c, λ_c
$R_{d,E00, sRGB}$	22.69	21.31	8.25	22.86	1.9393	-0.0363	21.1	41 608	16 480
$Y_{d,E00, sRGB}$	82.77	-8.71	28.28	29.59	0.8945	-0.0583	107.1	32 563	10 452
$G_{d,E00, sRGB}$	60.08	-30.03	20.03	36.1	0.4999	-0.0666	146.3	27 536	-1 536c
$C_{d,E00, sRGB}$	65.89	-21.31	-8.25	22.86	0.6763	-0.5252	201.1	16 480	41 608
$B_{d,E00, sRGB}$	5.81	8.71	-28.28	29.59	2.4999	-5.2665	287.1	10 452	32 563
$M_{d,E00, sRGB}$	28.5	30.03	-20.03	36.1	2.0536	-1.1027	326.3	-1 536c	27 536
$N_{d,E00, sRGB}$	0.88	0.0	0.0	0.01	0.9997	-0.3999	89.3	32 564	11 457
$W_{d,E00, sRGB}$	88.59	0.0	0.0	0.01	0.9999	-0.4	18.5	40 604	15 479

3-001430-L0

TF410-3N_5



3-001430-L0

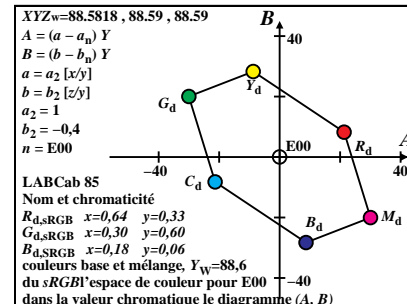
TF411-3N_5

Couleurs base et mélange du sRGB l'espace de couleur pour E00, $Y_w=10=88,6$

Code	$L^*_{88.6}$	$a^*_{88.6}$	$b^*_{88.6}$	C^*_{ab}	a'	b'	h_{ab}	i_d, λ^*_d	i_c, λ^*_c
$R_{d,E00, sRGB}$	54.76	75.34	67.06	100.87	0.2732	-0.0376	41.6	-1 472c	14 472
$Y_{d,E00, sRGB}$	92.92	-17.09	88.91	90.54	0.211	-0.044	100.8	31 559	12 463
$G_{d,E00, sRGB}$	81.89	-87.01	75.87	115.44	0.1738	-0.046	138.9	25 529	2 413
$C_{d,E00, sRGB}$	84.94	-53.14	-16.53	55.66	0.1923	-0.0917	197.2	15 477	-1 477c
$B_{d,E00, sRGB}$	28.95	69.13	-105.42	126.07	0.2971	-0.1976	303.2	10 454	28 542
$M_{d,E00, sRGB}$	60.35	89.2	-52.92	103.72	0.2784	-0.1174	329.3	-1 520c	24 520
$N_{d,E00, sRGB}$	8.09	0.0	0.0	0.0	0.219	-0.0837	0.0	-1 520c	-1 454c
$W_{d,E00, sRGB}$	95.41	0.0	0.0	0.0	0.219	-0.0837	0.0	-1 520c	-1 454c

3-001430-L0

TF410-5N_5



3-001430-L0

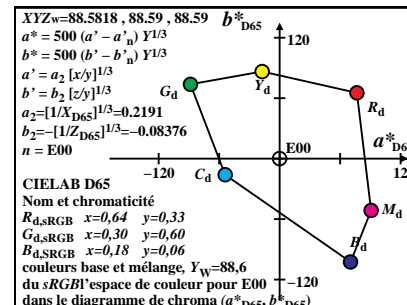
TF411-5N_5

Couleurs base et mélange du sRGB l'espace de couleur pour E00, $Y_w=10=88,6$

CodeD65	$L^*_{88.6}$	$a^*_{88.6}$	$b^*_{88.6}$	C^*_{ab}	a'	b'	h_{ab}	i_d, λ^*_d	i_c, λ^*_c
$R_{d,E00, sRGB}$	54.76	76.64	65.26	100.66	0.2732	-0.0376	40.4	-1 472c	14 472
$Y_{d,E00, sRGB}$	92.92	-17.39	86.44	88.17	0.2111	-0.044	101.3	31 558	12 463
$G_{d,E00, sRGB}$	81.89	-88.51	73.77	115.22	0.1739	-0.046	140.1	25 528	-1 528c
$C_{d,E00, sRGB}$	84.94	-54.06	-16.07	56.4	0.1923	-0.0917	196.5	15 477	-1 477c
$B_{d,E00, sRGB}$	28.95	70.37	-102.5	124.33	0.2972	-0.1976	304.4	10 453	28 541
$M_{d,E00, sRGB}$	60.35	90.74	-51.45	104.31	0.2784	-0.1174	330.4	-1 519c	23 519
$N_{d,E00, sRGB}$	8.09	0.0	0.0	0.0	0.219	-0.0837	159.0	22 510	-1 510c
$W_{d,E00, sRGB}$	95.41	0.0	0.0	0.0	0.219	-0.0837	0.0	-1 519c	-1 510c

3-001430-L0

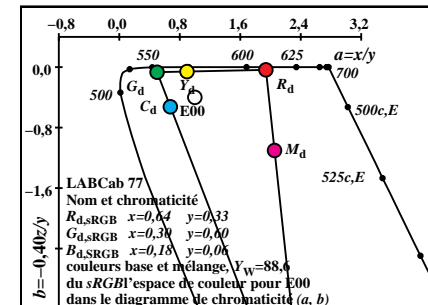
TF410-7N_5



3-001430-L0

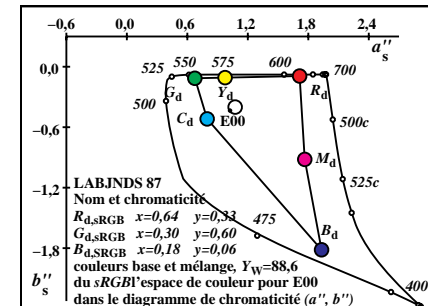
TF411-7N_5

TUB-test graphique TF41; sRGB: Basic and mixture colours entrée: w/rgb/cmyk -> w/rgb/cmyk-
 XYZ, YABCh, LabCh* data; 2° and 10°, Yn=88,6
 sortie: aucun changement



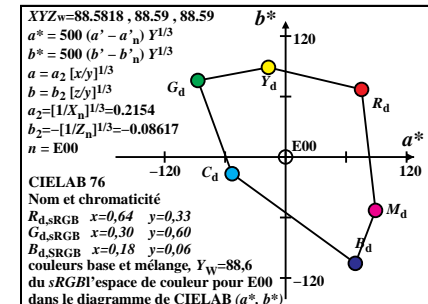
3-001430-L0

TF411-2N_5



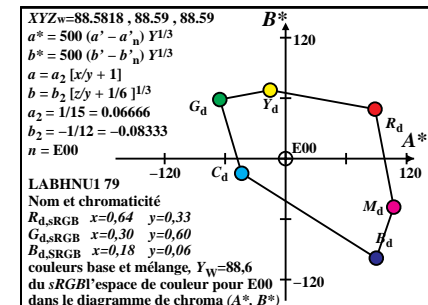
3-001430-L0

TF411-4N_5



3-001430-L0

TF411-6N_5



3-001430-L0

TF411-8N_5

voir des fichiers similaires: http://130.149.60.45/~farbmetrik/TF41/TF41.LONP.PDF /PS
 informations techniques: http://www.ps.bam.de ou http://130.149.60.45/~farbmetrik

TUB enregistrement: 20130201-TF41/TF41LONP.PDF /PS
 application pour la mesure de sortie sur écran
 TUB matériel: code=rh4ta

Couleurs base et mélange du sRGB l'espace de couleur pour P00, $Y_w=88,6$

Code	$X_{88,6}$	$Y_{88,6}$	$Z_{88,6}$	x	y	z	h_{xy}	i_d, λ_d	i_c, λ_c
$R_{d,P00, sRGB}$	50.24	25.9	2.35	0.64	0.33	0.03	355.3	41 609	16 482
$Y_{d,P00, sRGB}$	79.31	84.03	12.04	0.4521	0.4791	0.0686	54.1	33 565	10 452
$G_{d,P00, sRGB}$	29.06	58.12	9.68	0.3	0.6	0.0999	103.8	26 533	-1 533c
$C_{d,P00, sRGB}$	40.44	62.68	69.62	0.2341	0.3628	0.403	175.3	16 482	41 609
$B_{d,P00, sRGB}$	11.38	4.55	59.93	0.15	0.06	0.79	234.2	10 452	33 565
$M_{d,P00, sRGB}$	61.63	30.46	62.29	0.3991	0.1973	0.4034	283.8	-1 533c	26 533
$N_{d,P00, sRGB}$	0.9	0.88	0.71	0.3609	0.3525	0.2864	0.0	-1 533c	-1 452c
$W_{d,P00, sRGB}$	90.69	88.59	71.98	0.3609	0.3525	0.2864	0.0	-1 533c	-1 452c

3-001630-L0

TF410-1N_7

Couleurs base et mélange du sRGB l'espace de couleur pour P00, $Y_w=88,6$

Code	$Y_{88,6}$	$A_{88,6}$	$B_{88,6}$	C_{AB}	a	b	h_{AB}	i_d, λ_d	i_c, λ_c
$R_{d,P00, sRGB}$	25.9	23.72	7.47	24.87	1.9393	-0.0363	17.4	42 611	17 485
$Y_{d,P00, sRGB}$	84.03	-6.72	22.49	23.47	0.9437	-0.0573	106.6	32 564	-1 564c
$G_{d,P00, sRGB}$	58.12	-30.44	15.01	33.94	0.4999	-0.0666	153.7	25 529	-1 529c
$C_{d,P00, sRGB}$	62.68	-23.72	-7.47	24.87	0.6452	-0.4443	197.4	16 481	37 589
$B_{d,P00, sRGB}$	4.55	6.72	-22.49	23.47	2.4999	-5.2665	286.6	10 452	33 567
$M_{d,P00, sRGB}$	30.46	30.44	-15.01	33.94	2.0231	-0.8179	333.7	-1 550c	30 550
$N_{d,P00, sRGB}$	0.88	0.0	0.0	0.01	1.0236	-0.3249	92.8	14 470	34 573
$W_{d,P00, sRGB}$	88.59	0.0	0.0	0.01	1.0237	-0.325	5.7	14 470	34 573

3-001630-L0

TF410-3N_7

Couleurs base et mélange du sRGB l'espace de couleur pour P00, $Y_w=88,6$

Code	$L^*_{88,6}$	$a^*_{88,6}$	$b^*_{88,6}$	C^*_{ab}	a'	b'	h_{ab}	i_d, λ^*_d	i_c, λ^*_c
$R_{d,P00, sRGB}$	57.96	75.64	66.0	100.39	0.2732	-0.0376	41.1	-1 473c	14 473
$Y_{d,P00, sRGB}$	93.47	-12.61	82.87	83.83	0.2148	-0.0438	98.6	32 562	12 463
$G_{d,P00, sRGB}$	80.81	-88.65	68.45	112.0	0.1738	-0.046	142.3	25 529	-1 529c
$C_{d,P00, sRGB}$	83.27	-61.01	-18.8	63.84	0.1893	-0.0867	197.1	15 478	-1 478c
$B_{d,P00, sRGB}$	25.44	61.82	-109.25	125.53	0.2971	-0.1976	299.5	11 455	29 547
$M_{d,P00, sRGB}$	62.05	85.74	-48.47	98.49	0.277	-0.1062	330.5	-1 522c	24 522
$N_{d,P00, sRGB}$	8.09	0.0	0.0	0.0	0.2208	-0.0781	0.0	-1 522c	-1 455c
$W_{d,P00, sRGB}$	95.41	0.0	0.0	0.0	0.2208	-0.0781	0.0	-1 522c	-1 455c

3-001630-L0

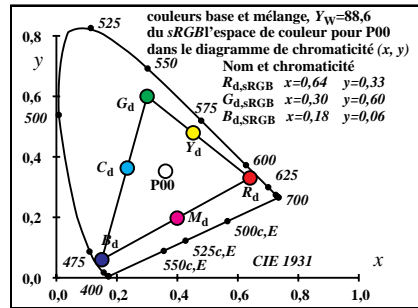
TF410-5N_7

Couleurs base et mélange du sRGB l'espace de couleur pour P00, $Y_w=88,6$

CodeD65	$L^*_{88,6}$	$a^*_{88,6}$	$b^*_{88,6}$	C^*_{ab}	a'	b'	h_{ab}	i_d, λ^*_d	i_c, λ^*_c
$R_{d,P00, sRGB}$	57.96	77.55	59.92	98.0	0.2732	-0.0376	37.6	-1 473c	14 473
$Y_{d,P00, sRGB}$	93.47	-12.93	75.18	76.28	0.2149	-0.0438	99.7	32 561	12 463
$G_{d,P00, sRGB}$	80.81	-90.89	62.1	110.08	0.1739	-0.046	145.6	25 526	-1 526c
$C_{d,P00, sRGB}$	83.27	-62.55	-17.05	64.83	0.1893	-0.0867	195.2	15 479	-1 479c
$B_{d,P00, sRGB}$	25.44	63.43	-99.13	117.69	0.2972	-0.1976	302.6	10 453	29 545
$M_{d,P00, sRGB}$	62.05	87.91	-43.97	98.29	0.277	-0.1063	333.4	-1 519c	23 519
$N_{d,P00, sRGB}$	8.09	0.0	0.0	0.0	0.2208	-0.0781	160.5	22 512	-1 512c
$W_{d,P00, sRGB}$	95.41	0.0	0.0	0.0	0.2208	-0.0781	180.0	17 489	-1 489c

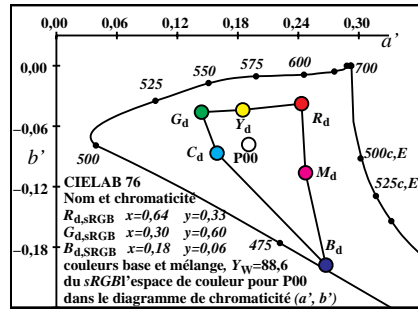
3-001630-L0

TF410-7N_7



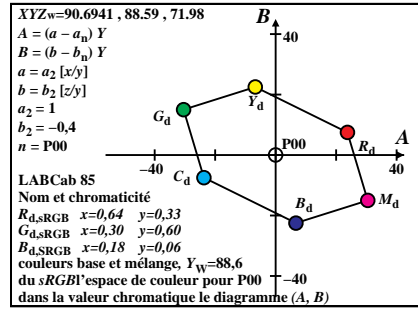
3-001630-L0

TF411-1N_7



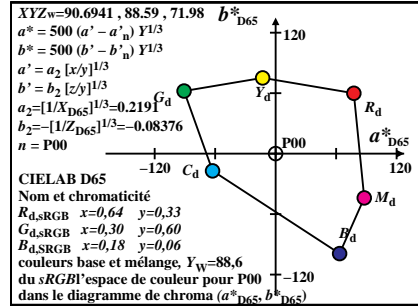
3-001630-L0

TF411-3N_7



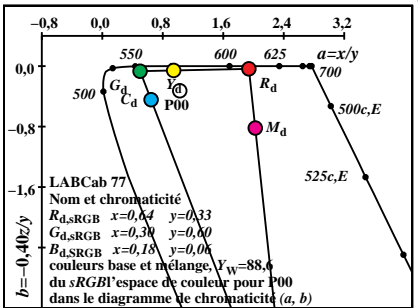
3-001630-L0

TF411-5N_7



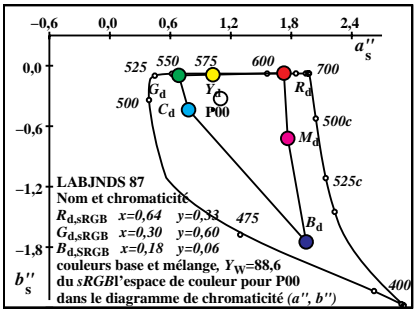
3-001630-L0

TF411-7N_7



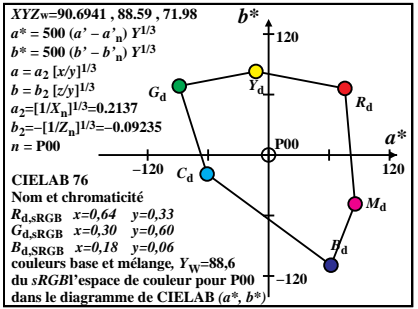
3-001630-L0

TF411-2N_7



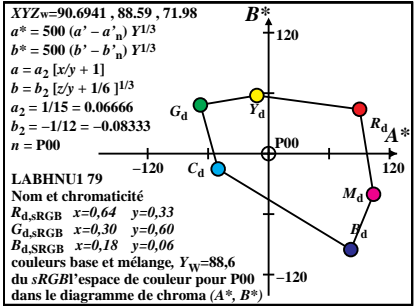
3-001630-L0

TF411-4N_7



3-001630-L0

TF411-6N_7



3-001630-L0

TF411-8N_7

voir des fichiers similaires: http://130.149.60.45/~farbmetrik/TF41/TF41.LONP.PDF /PS
 informations techniques: http://www.ps.bam.de ou http://130.149.60.45/~farbmetrik

TUB enregistrement: 20130201-TF41/TF41LONP.PDF /PS
 application pour la mesure de sortie sur écran
 TUB matériel: code=rh4ta

Couleurs base et mélange du sRGB l'espace de couleur pour Q00, $Y_w=10=88,6$

Code	$X_{88.6}$	$Y_{88.6}$	$Z_{88.6}$	x	y	z	h_{xy}	i_d, λ_d	i_c, λ_c
$R_{d,Q00, sRGB}$	37.88	19.53	1.77	0.64	0.3299	0.03	2.3	41 608	15 478
$Y_{d,Q00, sRGB}$	68.88	81.54	12.11	0.4238	0.5016	0.0745	58.1	32 560	10 451
$G_{d,Q00, sRGB}$	31.0	62.0	10.33	0.3	0.6	0.0999	91.7	27 537	-1 537c
$C_{d,Q00, sRGB}$	48.62	69.05	103.13	0.2202	0.3127	0.467	182.3	15 478	41 608
$B_{d,Q00, sRGB}$	17.62	7.04	92.8	0.15	0.06	0.79	238.2	10 451	32 560
$M_{d,Q00, sRGB}$	55.5	26.58	94.57	0.3141	0.1504	0.5353	271.8	-1 537c	27 537
$N_{d,Q00, sRGB}$	0.86	0.88	1.04	0.3089	0.3163	0.3746	359.9	-1 537c	-1 451c
$W_{d,Q00, sRGB}$	86.5	88.59	104.91	0.3089	0.3163	0.3746	359.9	-1 537c	-1 451c

3-001730-L0

TF410-1N_8

Couleurs base et mélange du sRGB l'espace de couleur pour Q00, $Y_w=10=88,6$

Code	$Y_{88.6}$	$A_{88.6}$	$B_{88.6}$	C_{AB}	a	b	h_{AB}	i_d, λ_d	i_c, λ_c
$R_{d,Q00, sRGB}$	19.53	18.8	8.54	20.65	1.9393	-0.0363	24.4	41 607	15 477
$Y_{d,Q00, sRGB}$	81.54	-10.73	33.78	35.44	0.8448	-0.0594	107.6	32 561	11 459
$G_{d,Q00, sRGB}$	62.0	-29.54	25.23	38.85	0.4999	-0.0666	139.4	27 538	-1 538c
$C_{d,Q00, sRGB}$	69.05	-18.8	-8.54	20.65	0.7041	-0.5974	204.4	16 480	-1 480c
$B_{d,Q00, sRGB}$	7.04	10.73	-33.78	35.44	2.4999	-5.2665	287.6	10 451	31 558
$M_{d,Q00, sRGB}$	26.58	29.54	-25.23	38.85	2.088	-1.4231	319.4	-1 524c	24 524
$N_{d,Q00, sRGB}$	0.88	0.0	0.0	0.01	0.9763	-0.4736	85.6	34 573	14 470
$W_{d,Q00, sRGB}$	88.59	0.0	0.0	0.01	0.9764	-0.4736	353.7	34 573	14 470

3-001730-L0

TF410-3N_8

Couleurs base et mélange du sRGB l'espace de couleur pour Q00, $Y_w=10=88,6$

Code	$L^*_{88.6}$	$a^*_{88.6}$	$b^*_{88.6}$	C^*_{ab}	a'	b'	h_{ab}	i_d, λ^*_d	i_c, λ^*_c
$R_{d,Q00, sRGB}$	51.31	74.53	66.63	99.98	0.2732	-0.0376	41.7	-1 472c	14 472
$Y_{d,Q00, sRGB}$	92.37	-22.01	93.29	95.86	0.2071	-0.0443	103.2	31 555	12 463
$G_{d,Q00, sRGB}$	82.92	-85.25	81.81	118.15	0.1738	-0.046	136.1	25 529	7 435
$C_{d,Q00, sRGB}$	86.53	-45.63	-14.21	47.79	0.1949	-0.0957	197.2	15 476	-1 476c
$B_{d,Q00, sRGB}$	31.93	75.96	-101.74	126.97	0.2971	-0.1976	306.7	10 452	27 537
$M_{d,Q00, sRGB}$	58.59	92.67	-56.95	108.77	0.2799	-0.1278	328.4	-1 518c	23 518
$N_{d,Q00, sRGB}$	8.09	0.0	0.0	0.0	0.2173	-0.0886	0.0	-1 518c	-1 452c
$W_{d,Q00, sRGB}$	95.41	0.0	0.0	0.0	0.2173	-0.0886	0.0	-1 518c	-1 452c

3-001730-L0

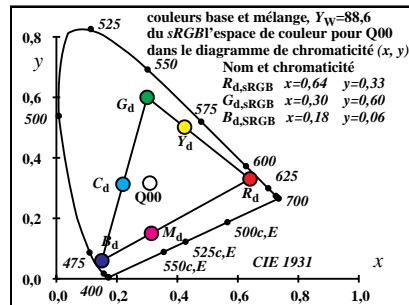
TF410-5N_8

Couleurs base et mélange du sRGB l'espace de couleur pour Q00, $Y_w=10=88,6$

CodeD65	$L^*_{88.6}$	$a^*_{88.6}$	$b^*_{88.6}$	C^*_{ab}	a'	b'	h_{ab}	i_d, λ^*_d	i_c, λ^*_c
$R_{d,Q00, sRGB}$	51.31	75.23	68.61	101.82	0.2732	-0.0376	42.3	-1 472c	14 472
$Y_{d,Q00, sRGB}$	92.37	-22.21	95.96	98.5	0.2071	-0.0443	103.0	31 555	12 463
$G_{d,Q00, sRGB}$	82.92	-86.04	84.15	120.35	0.1739	-0.046	135.6	25 529	7 437
$C_{d,Q00, sRGB}$	86.53	-46.05	-14.61	48.31	0.1949	-0.0957	197.6	15 476	-1 476c
$B_{d,Q00, sRGB}$	31.93	76.69	-104.66	129.75	0.2972	-0.1976	306.2	10 453	27 538
$M_{d,Q00, sRGB}$	58.59	93.53	-58.57	110.36	0.28	-0.1278	327.9	-1 518c	23 518
$N_{d,Q00, sRGB}$	8.09	0.0	0.0	0.0	0.2173	-0.0886	157.8	21 509	-1 509c
$W_{d,Q00, sRGB}$	95.41	0.0	0.0	0.0	0.2173	-0.0886	0.0	-1 518c	-1 509c

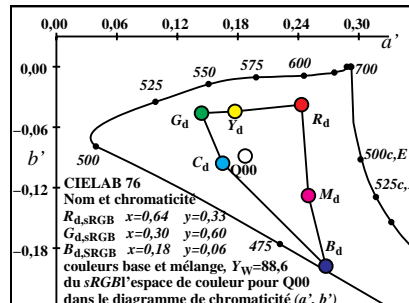
3-001730-L0

TF410-7N_8



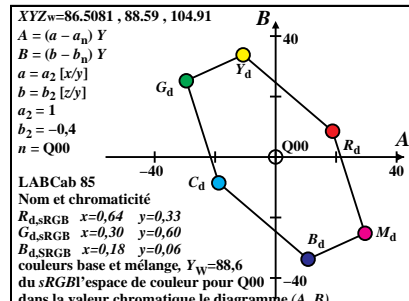
3-001730-L0

TF411-1N_8



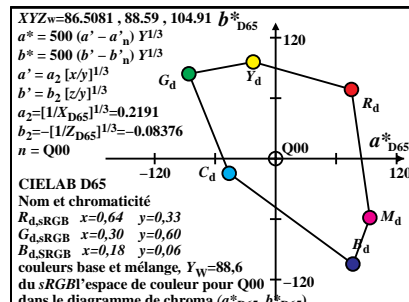
3-001730-L0

TF411-3N_8



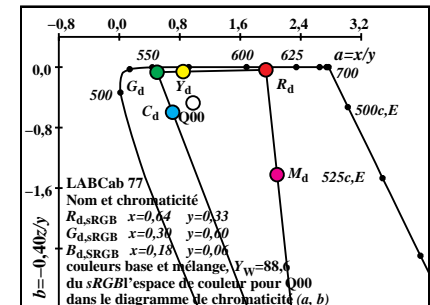
3-001730-L0

TF411-5N_8



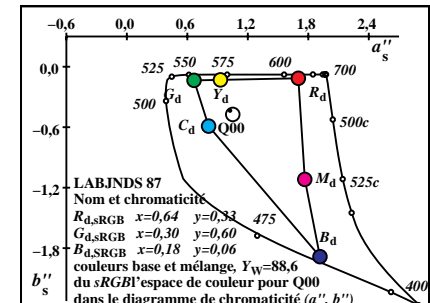
3-001730-L0

TF411-7N_8



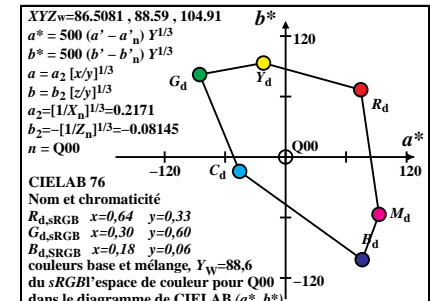
3-001730-L0

TF411-2N_8



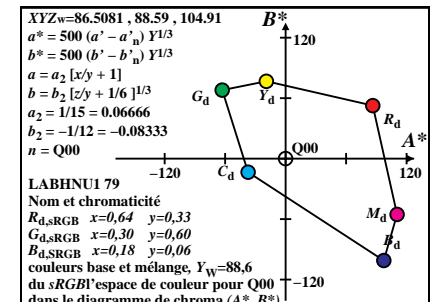
3-001730-L0

TF411-4N_8



3-001730-L0

TF411-6N_8



3-001730-L0

TF411-8N_8

voir des fichiers similaires: http://130.149.60.45/~farbmetrik/TF41/TF41.LONP.PDF /PS
 informations techniques: http://www.ps.bam.de ou http://130.149.60.45/~farbmetrik

TUB enregistrement: 20130201-TF41/TF41LONP.PDF /PS
 application pour la mesure de sortie sur écran
 TUB matériel: code=rh4ta